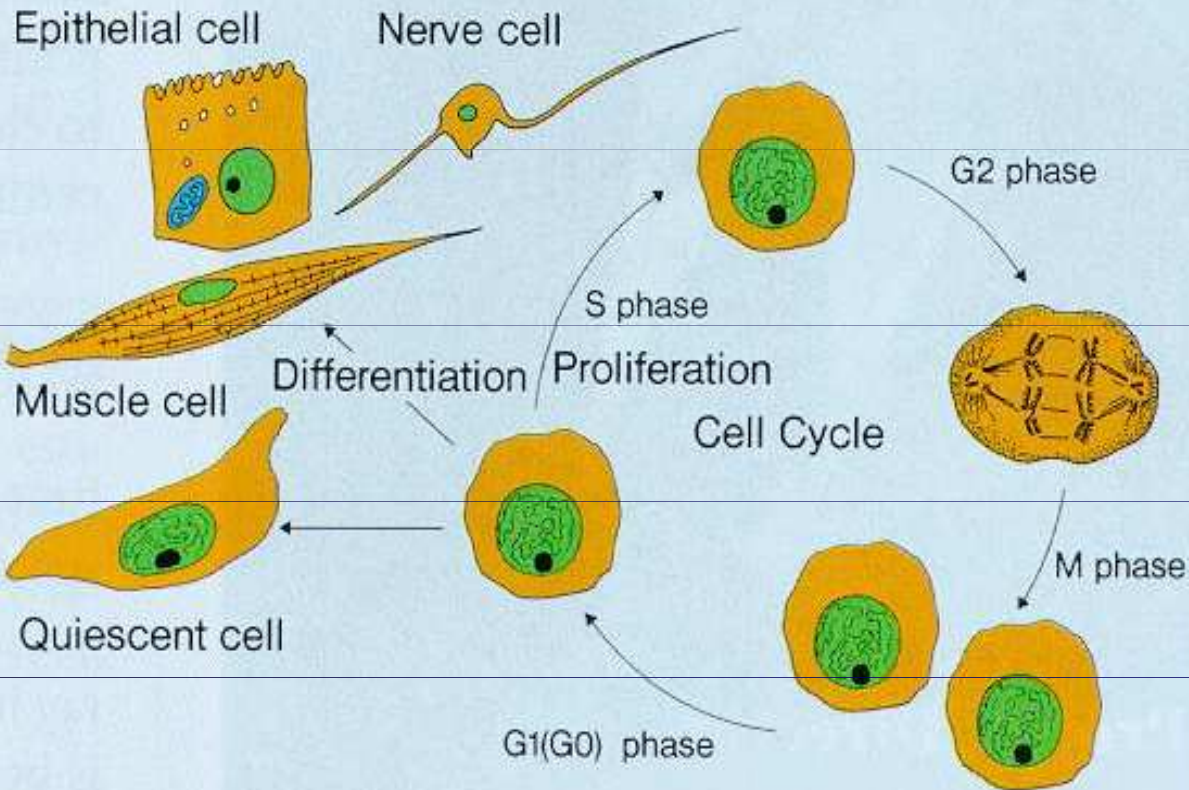


Buněčná diferenciacie a struktura chromatinu

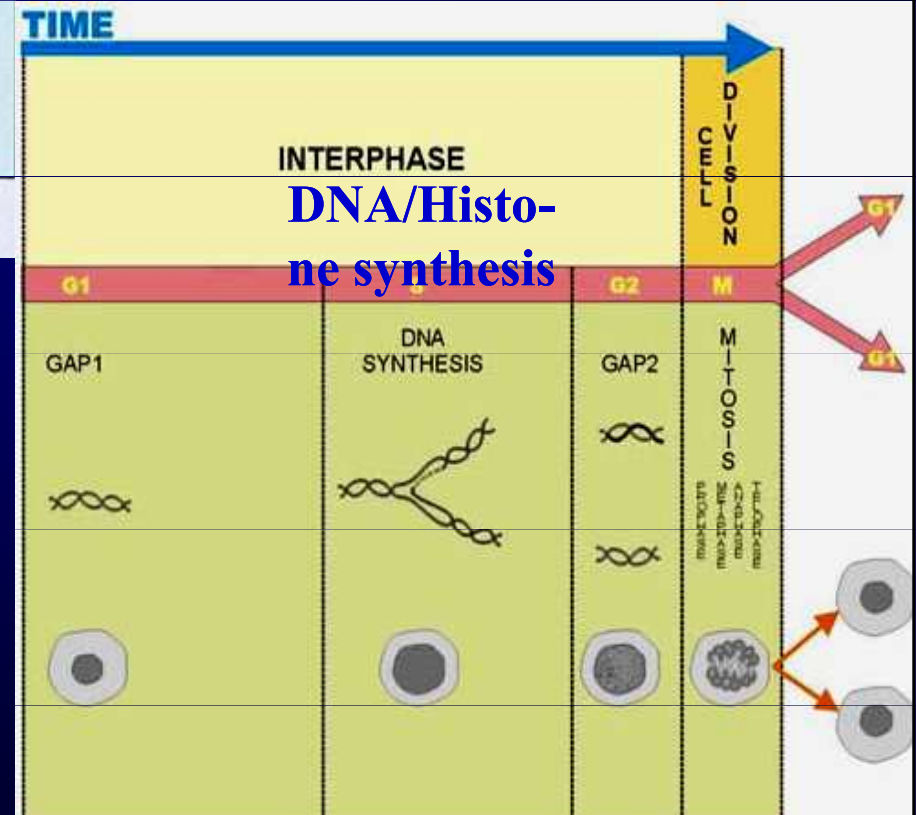
Buněčná diferenciacie je proces při kterém buňky získávají nový fenotyp, který je spojen se specifickou buněčnou funkcí. Pro daný buněčný typ je charakteristická aktivace skupiny genů, které jsou zodpovědné za terminální diferenciaci.



Cell Growth and Differentiation

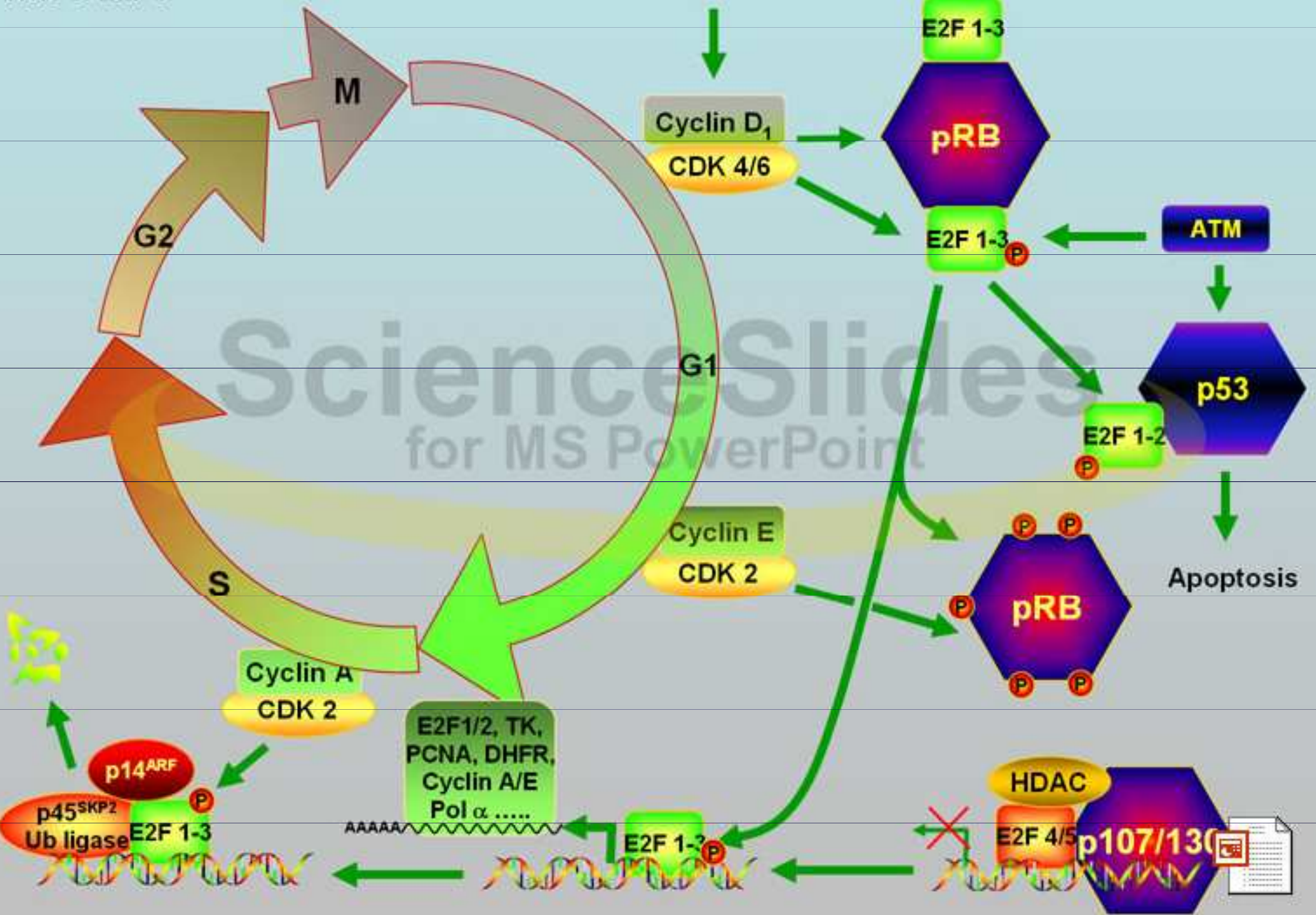
Cell Differentiation

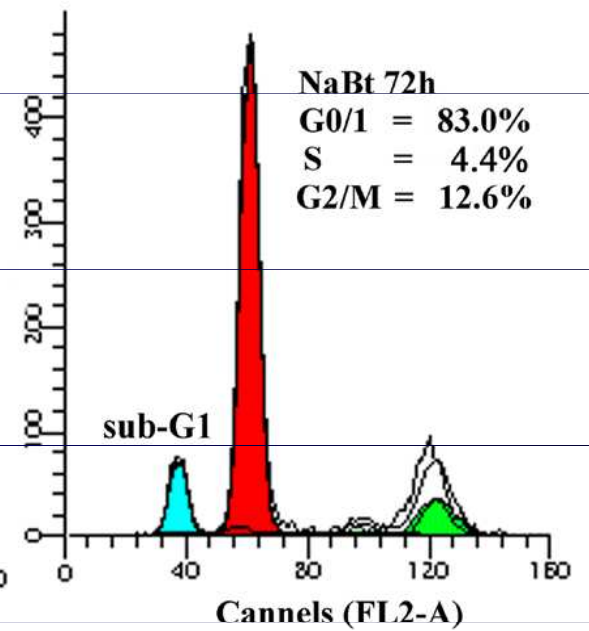
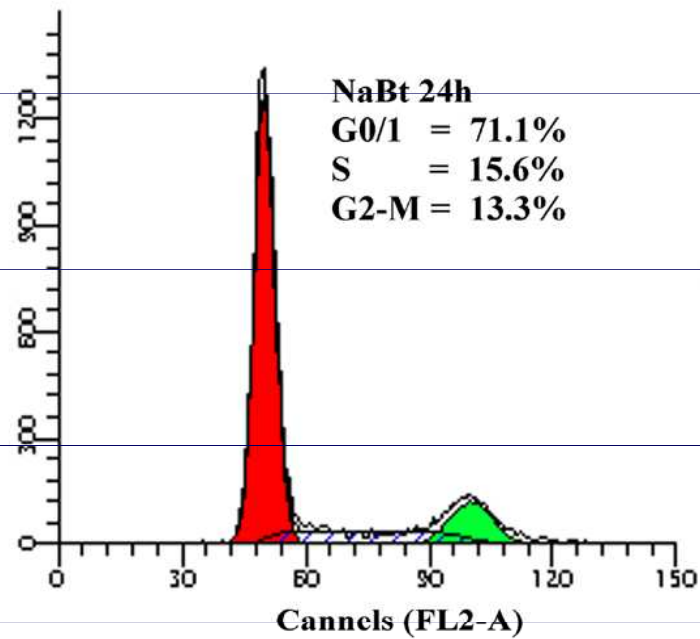
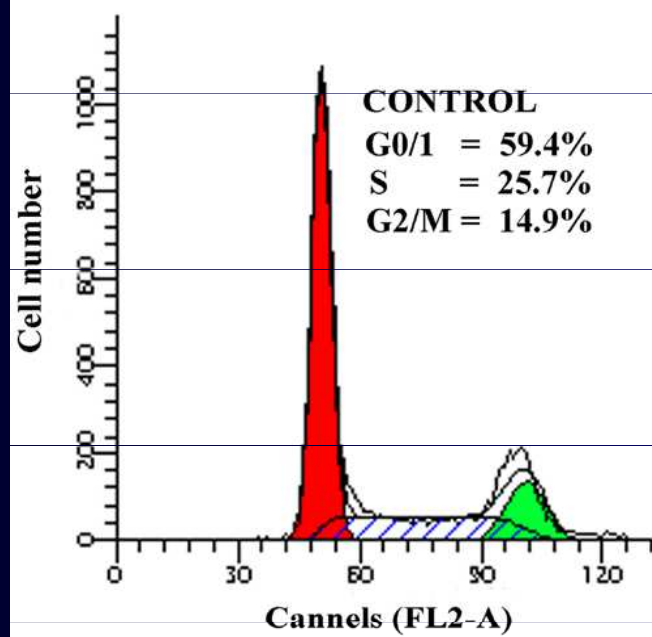
Cell Growth



Cell Cycle

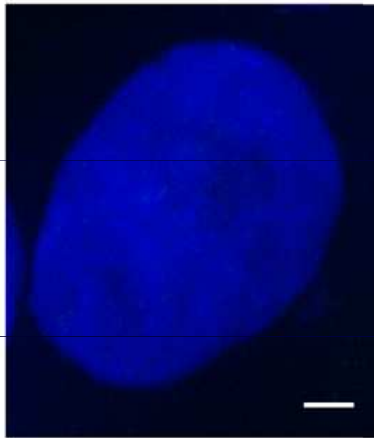
Role of E2F's



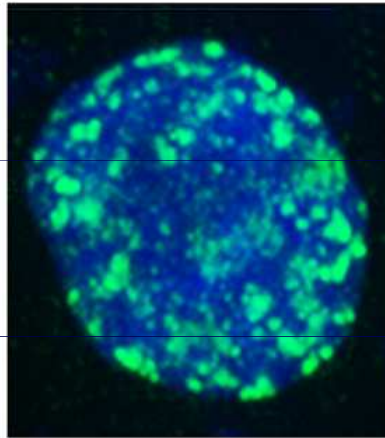


pKi-67

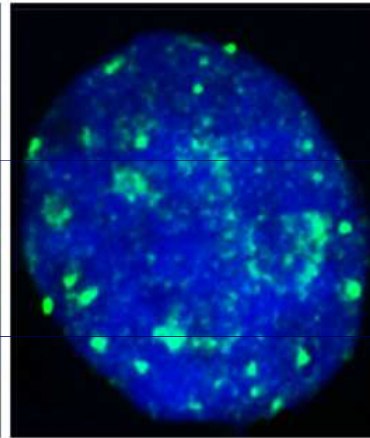
G0



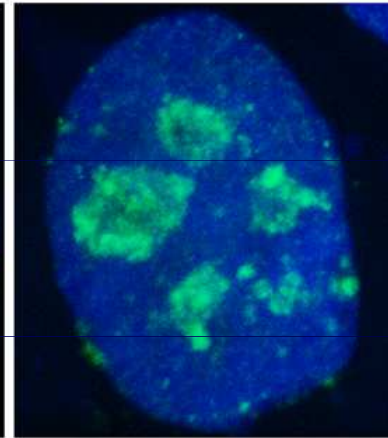
early G1



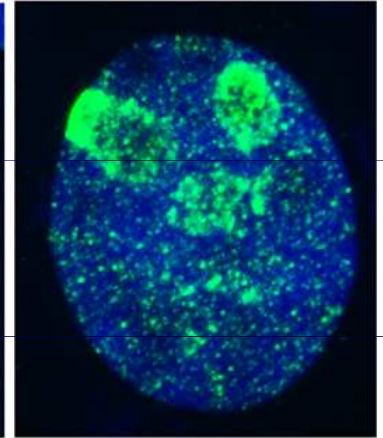
mid G1



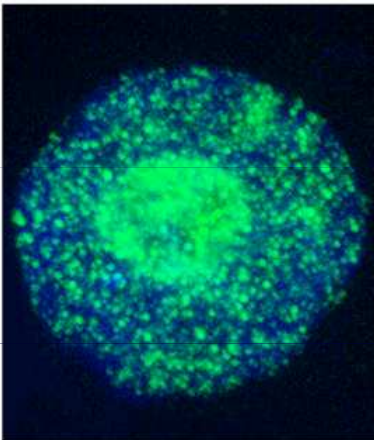
late G1



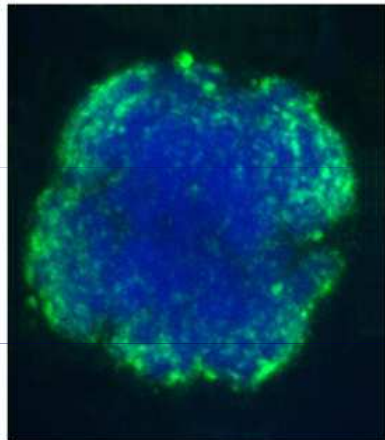
S



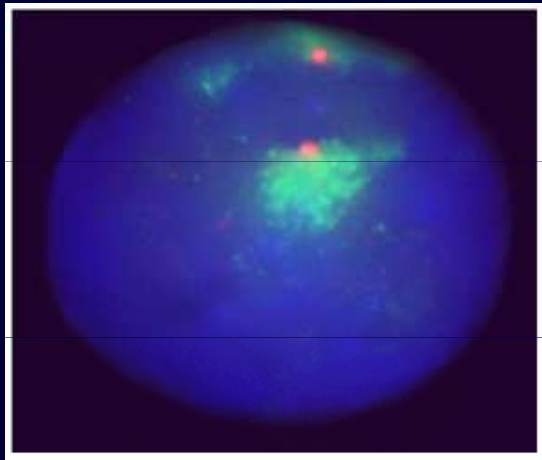
G2



metaphase

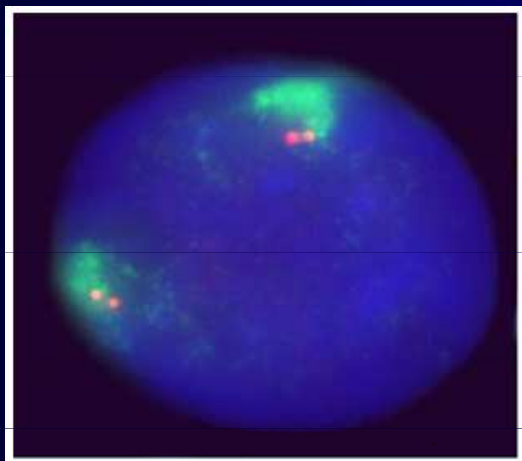


G1

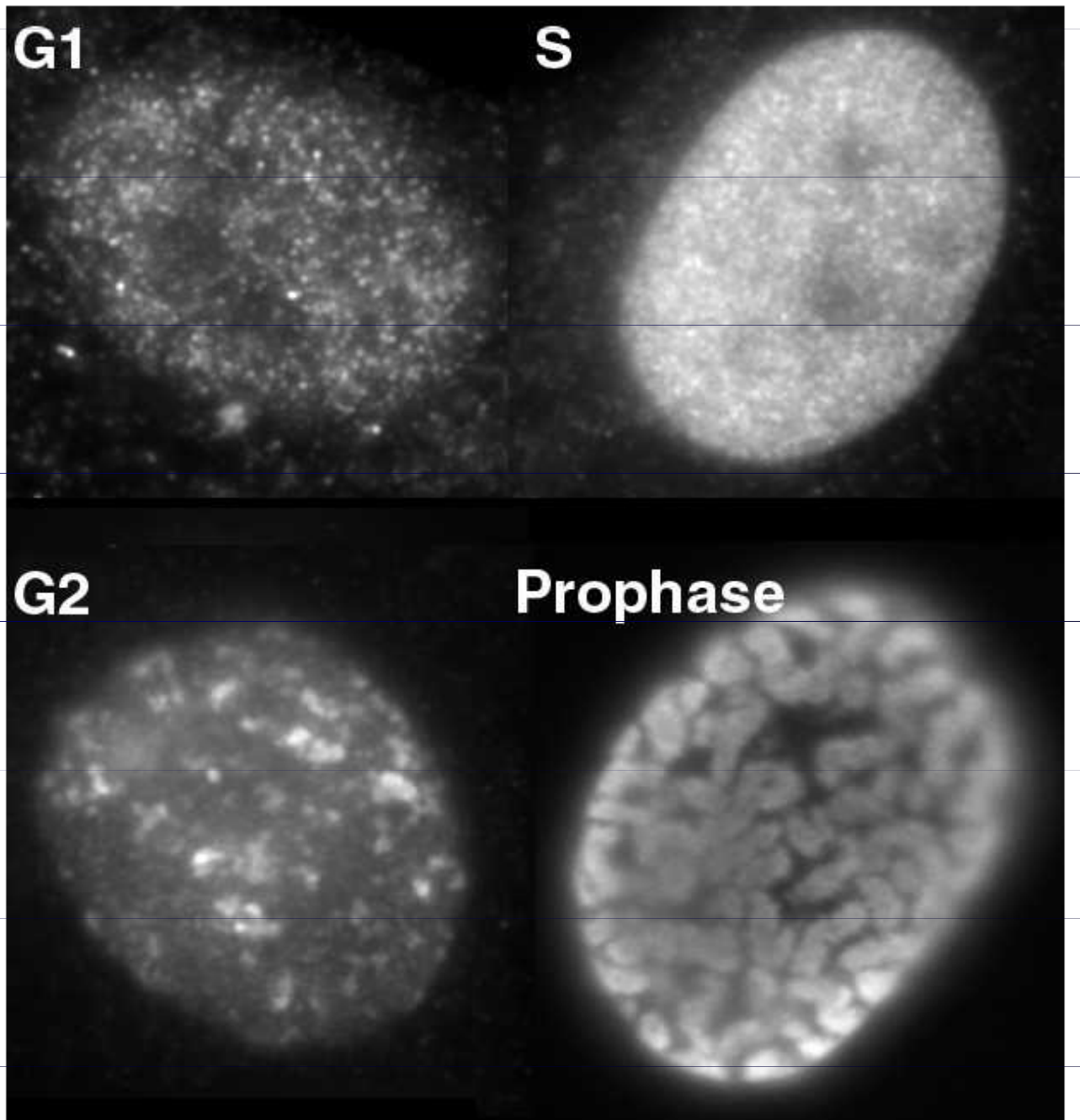


Rb1 gene

G2



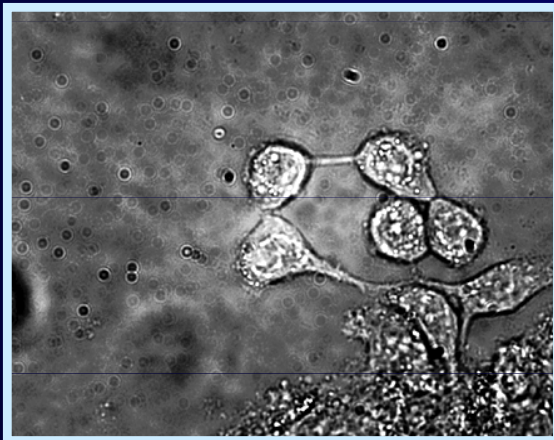
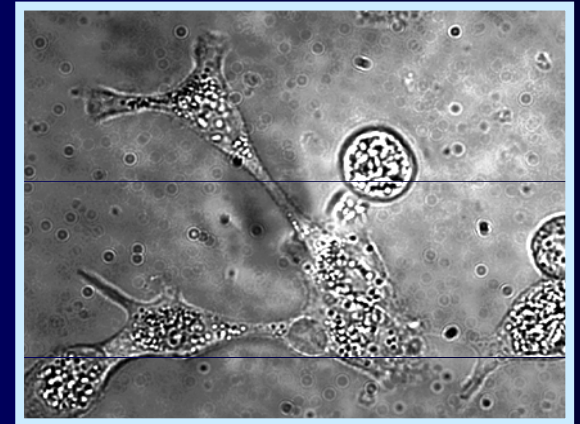
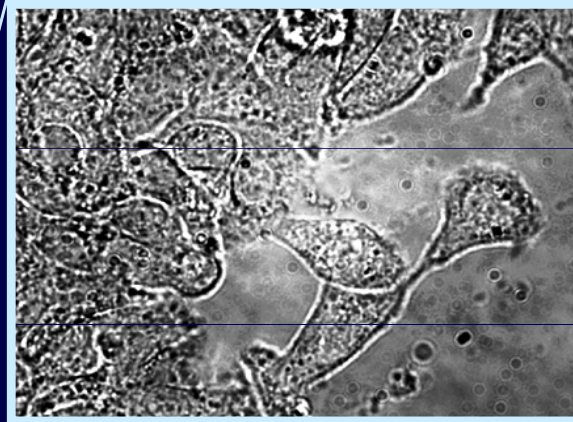
Anti-phospho H3



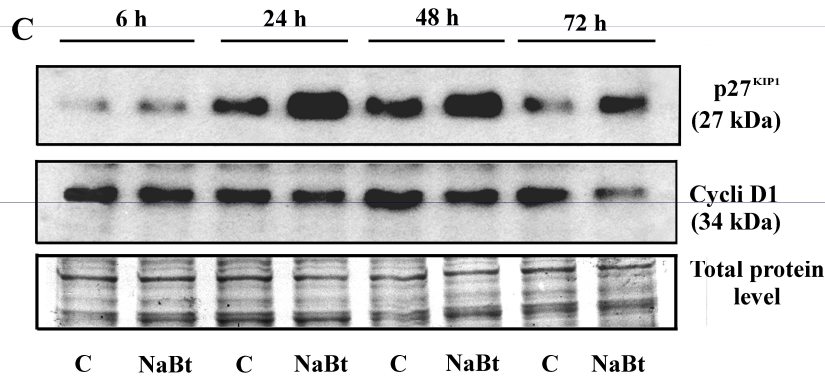
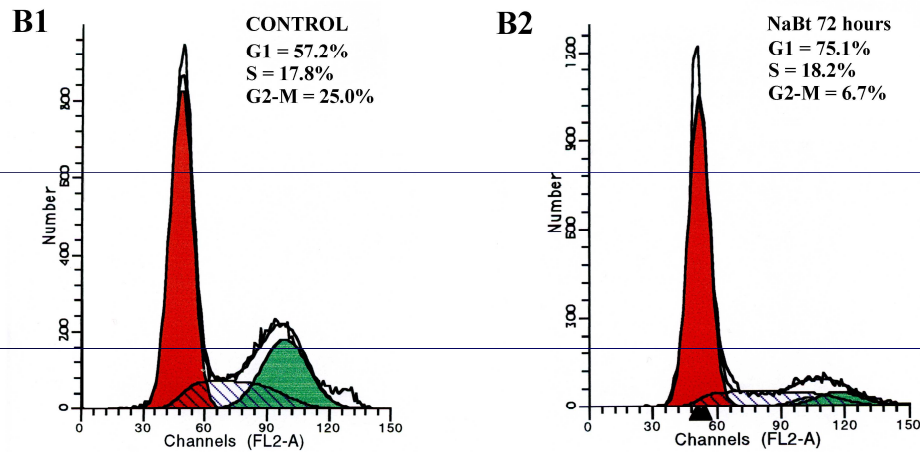
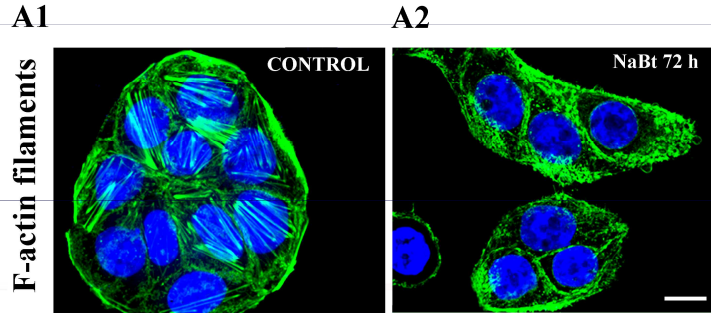
Enterocytic cell differentiation

Control

Sodium Butyrate

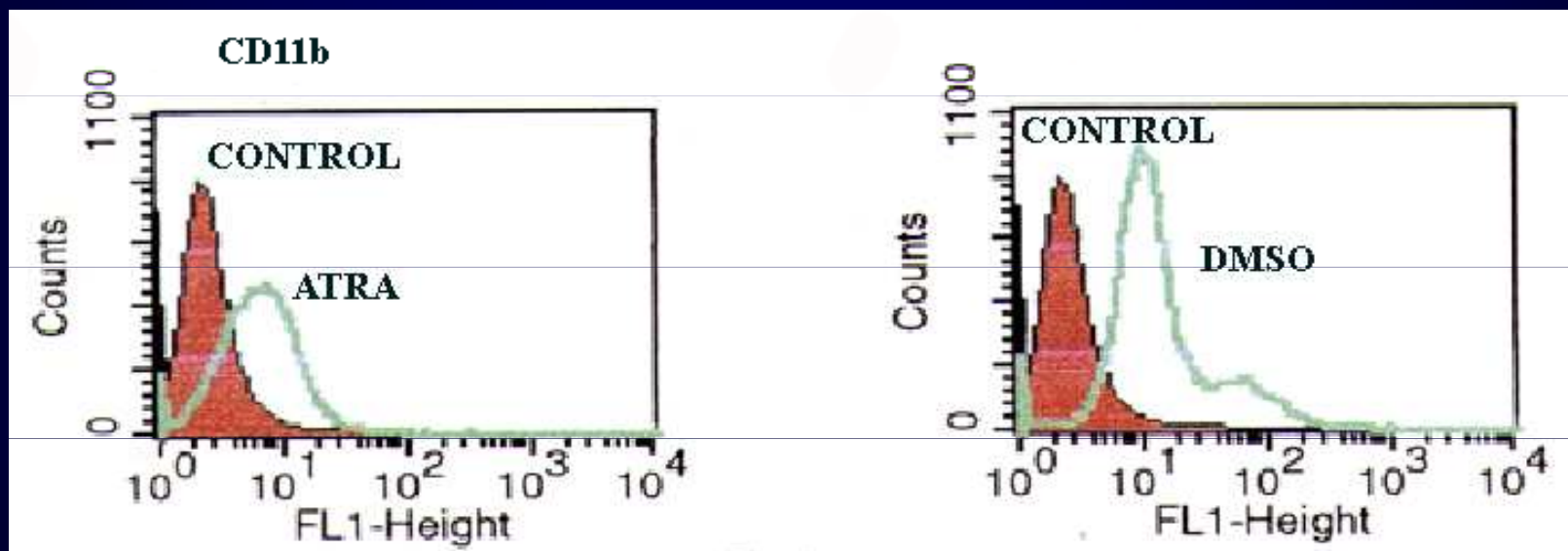
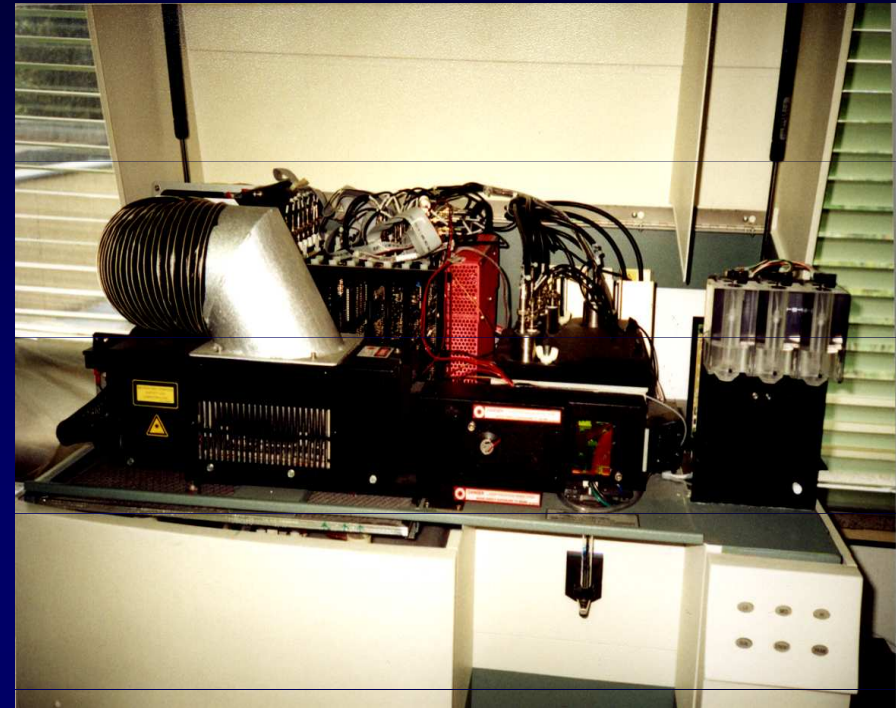
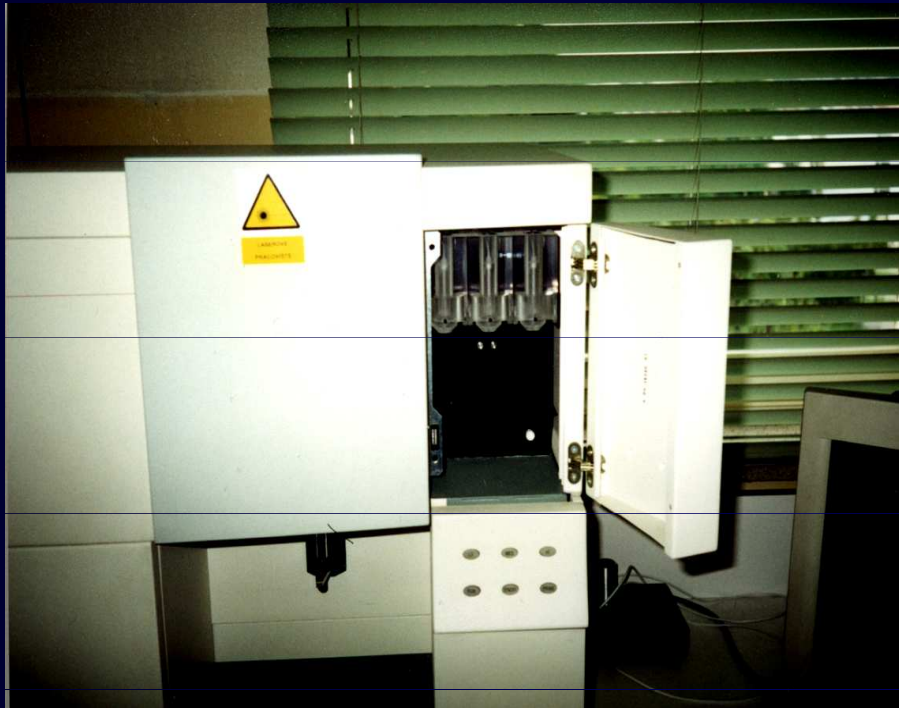


Enterocytic cell differentiation



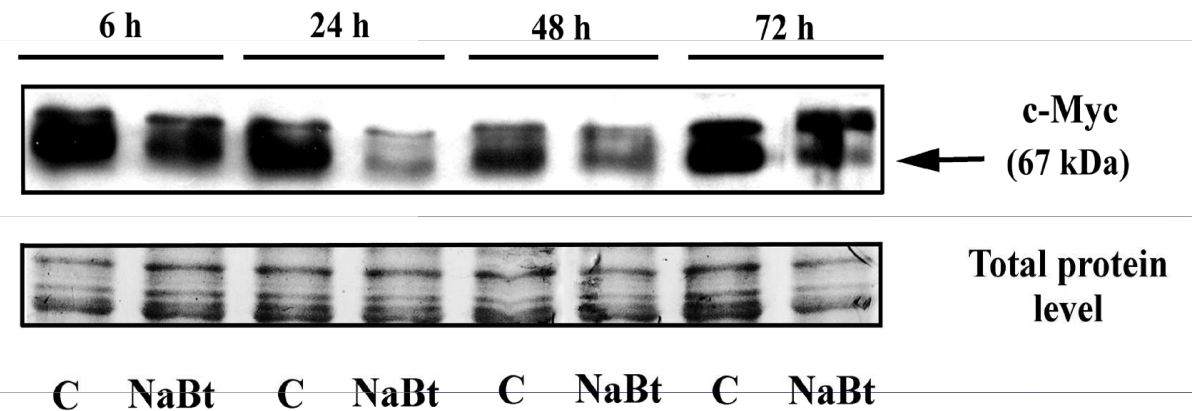
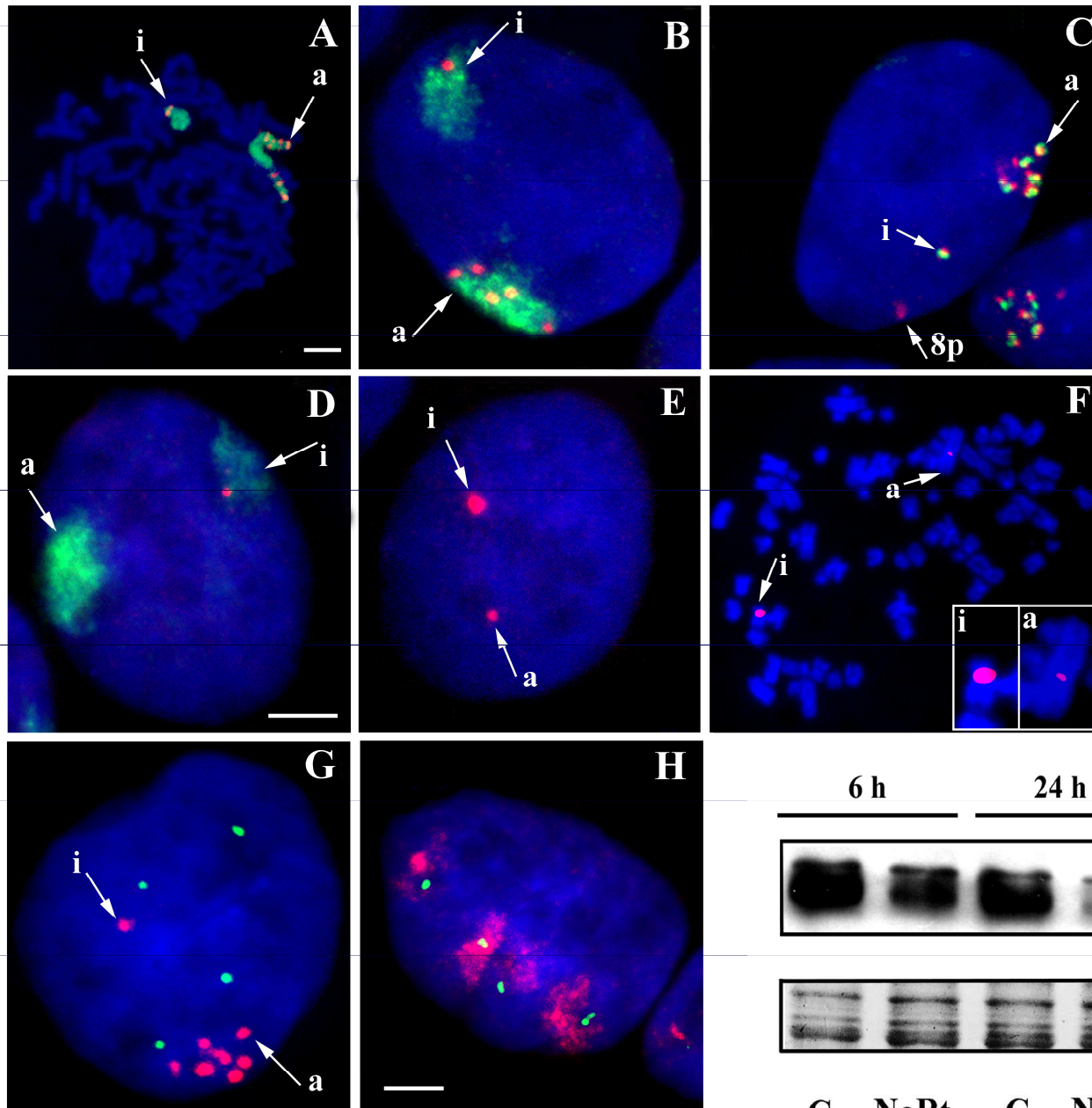
Harničarová et al., 2005

Flow Cytometry

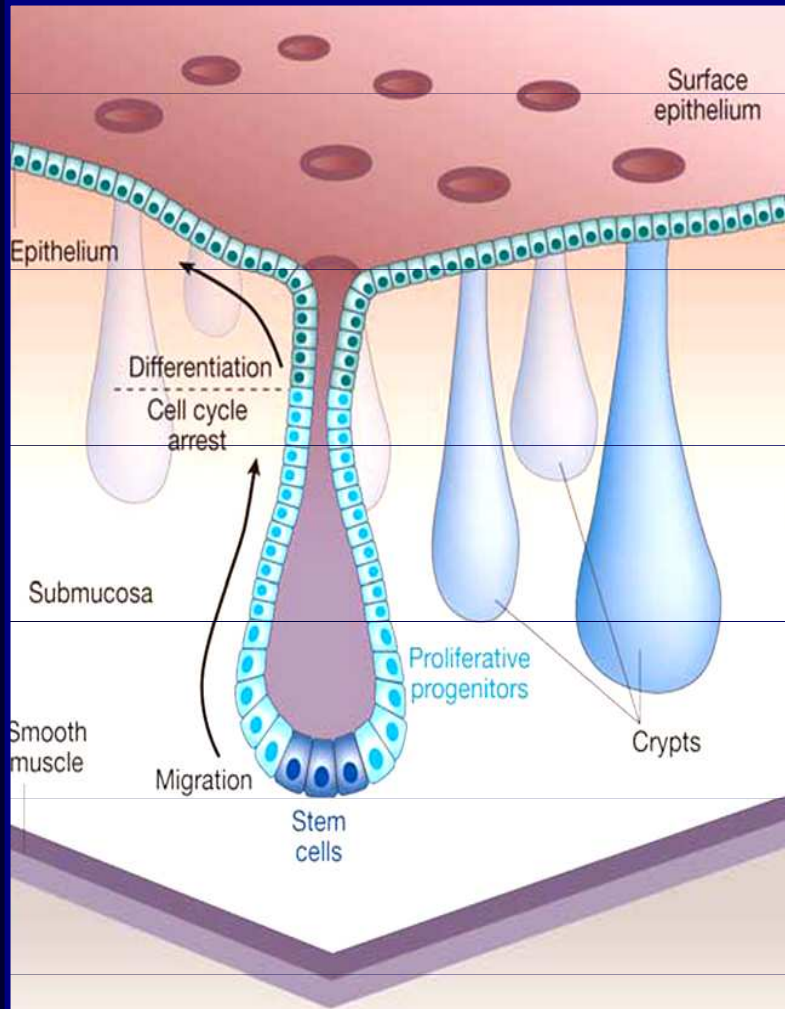


HSA 8 and related structures

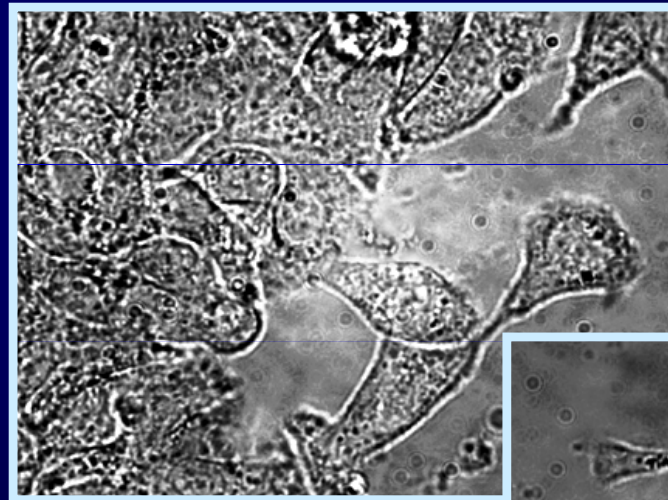
Harničarová et al., 2006



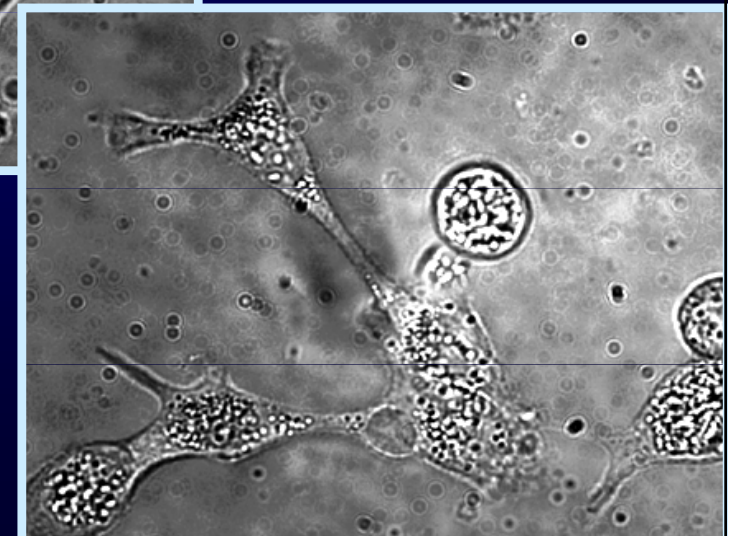
Enterocytic Cell Differentiation



Control



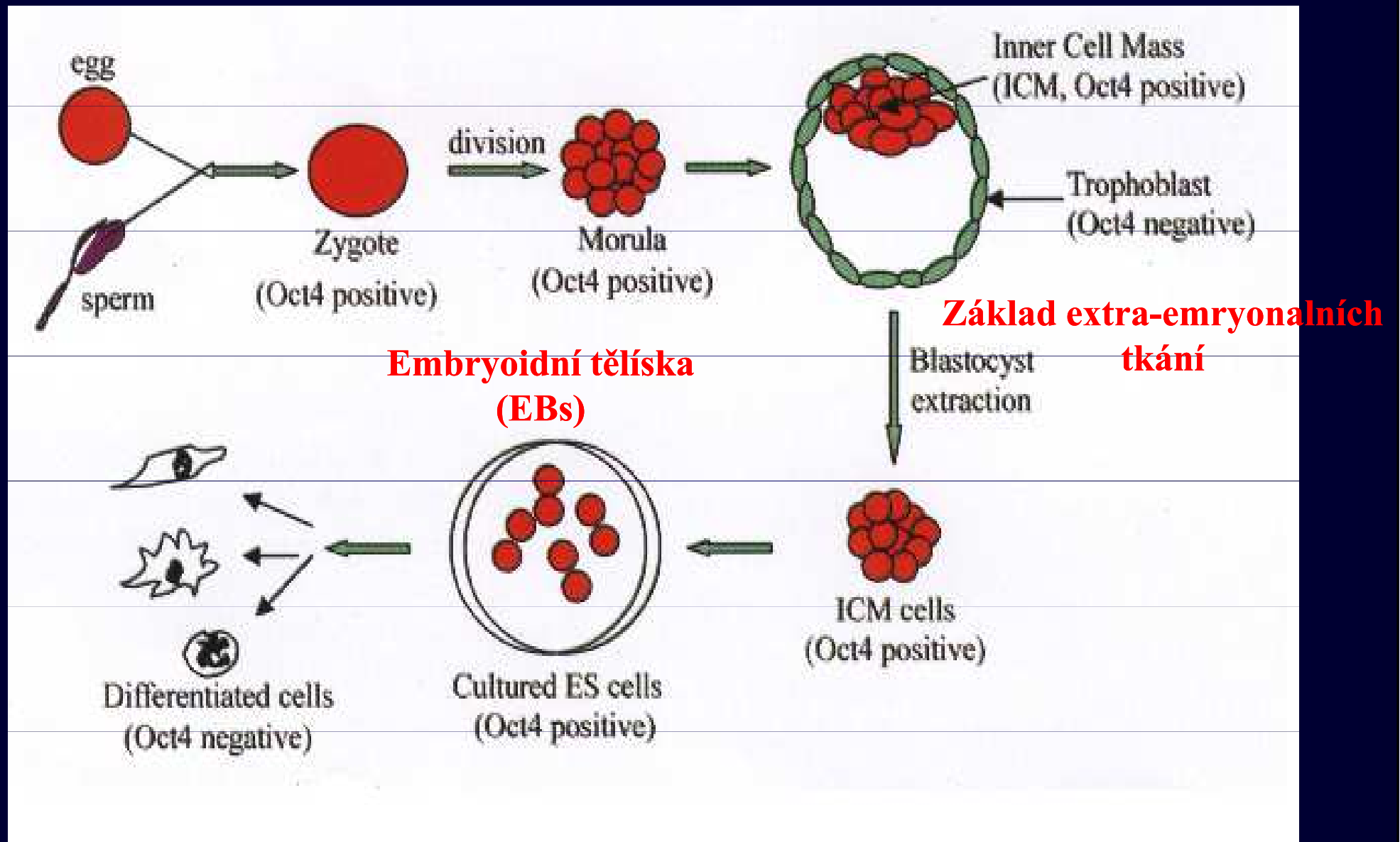
NaBt

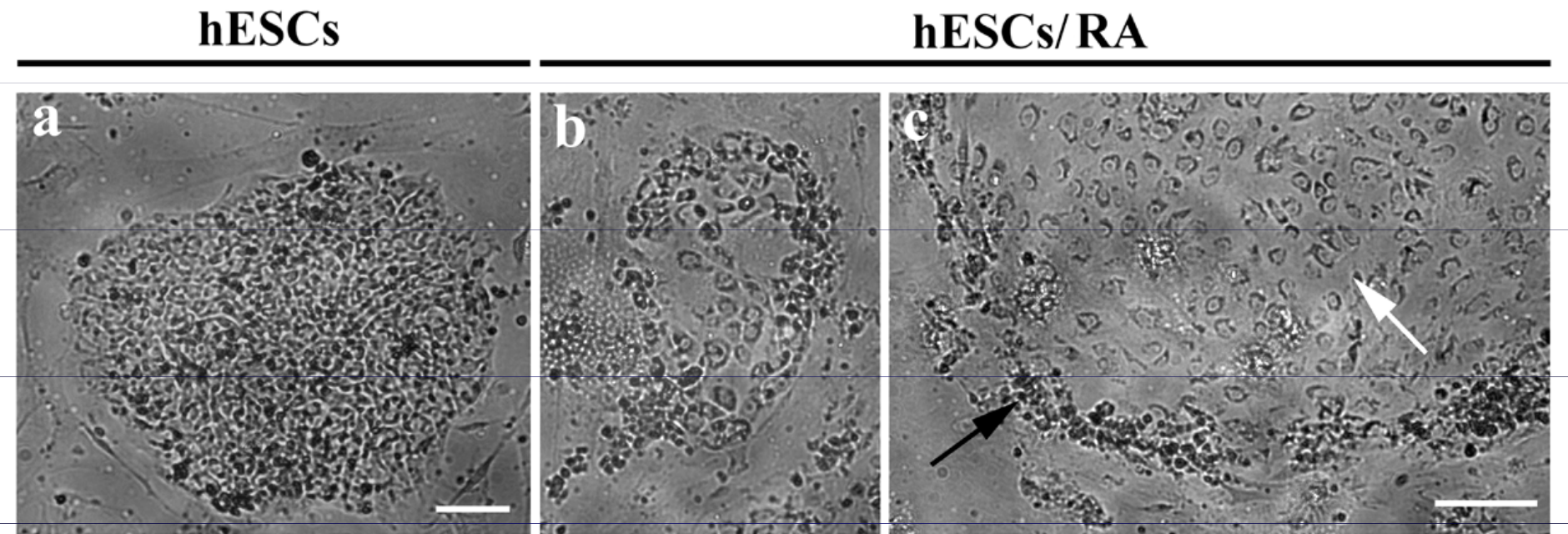
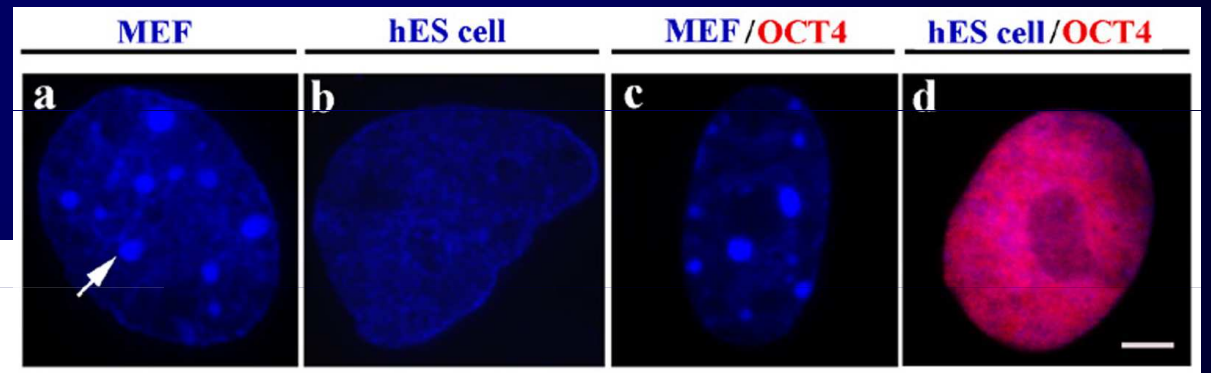
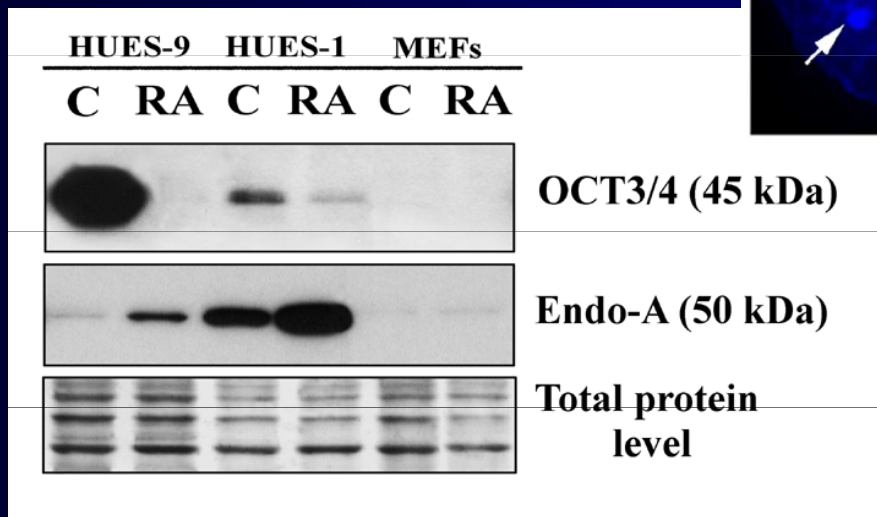


Nature, Vol 434 (2005), www.nature.com

Figure 3 Tissue anatomy of the colonic epithelium. Putative stem cells (dark blue) reside at the crypt bottom. Proliferating progenitor cells occupy two-thirds of the crypt. Differentiated cells (green) populate the remainder of the crypt and the flat surface epithelium. (Adapted from ref. 89.)

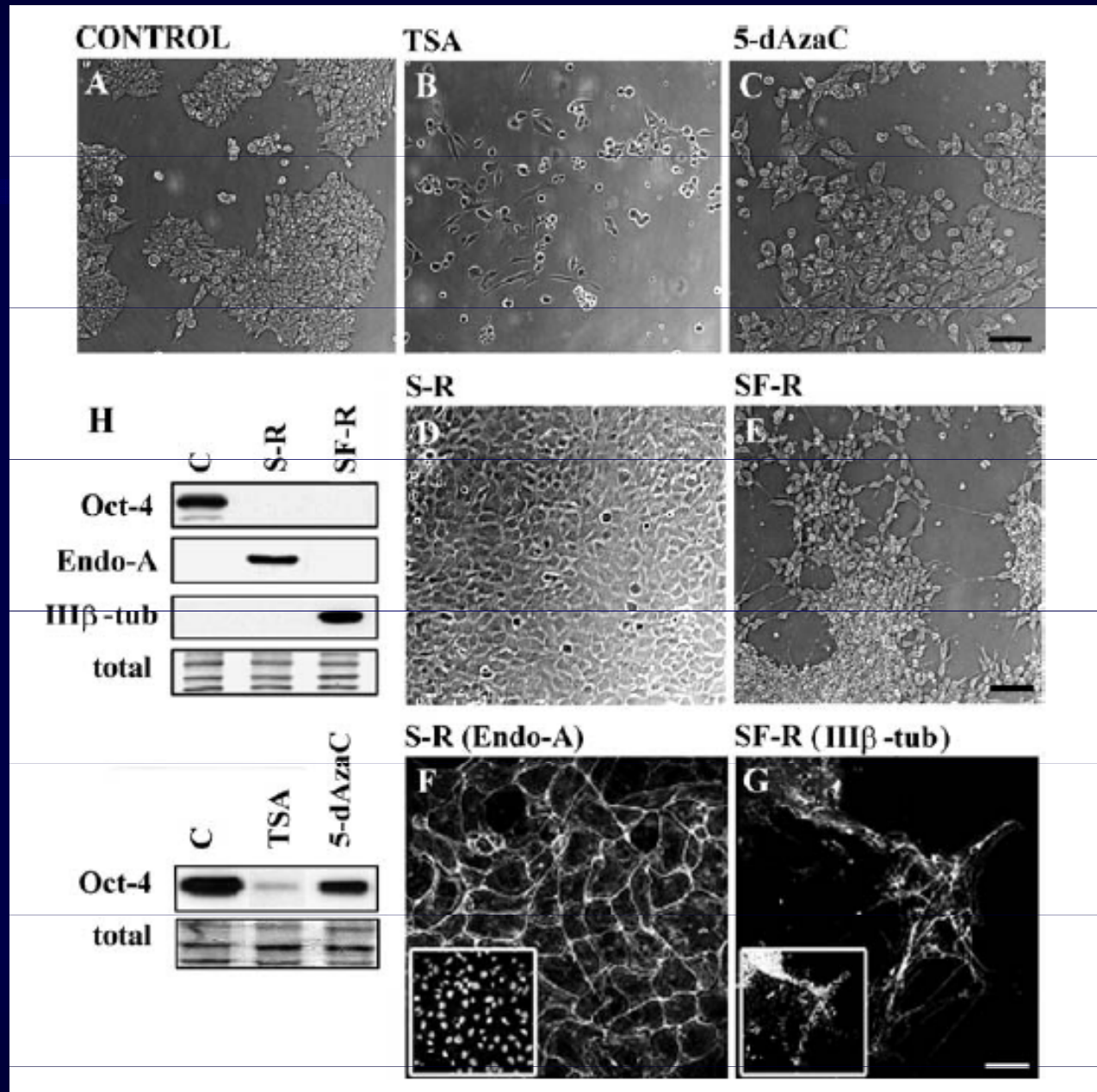
1. Differentiation of mouse embryonic cells (ES and EC)



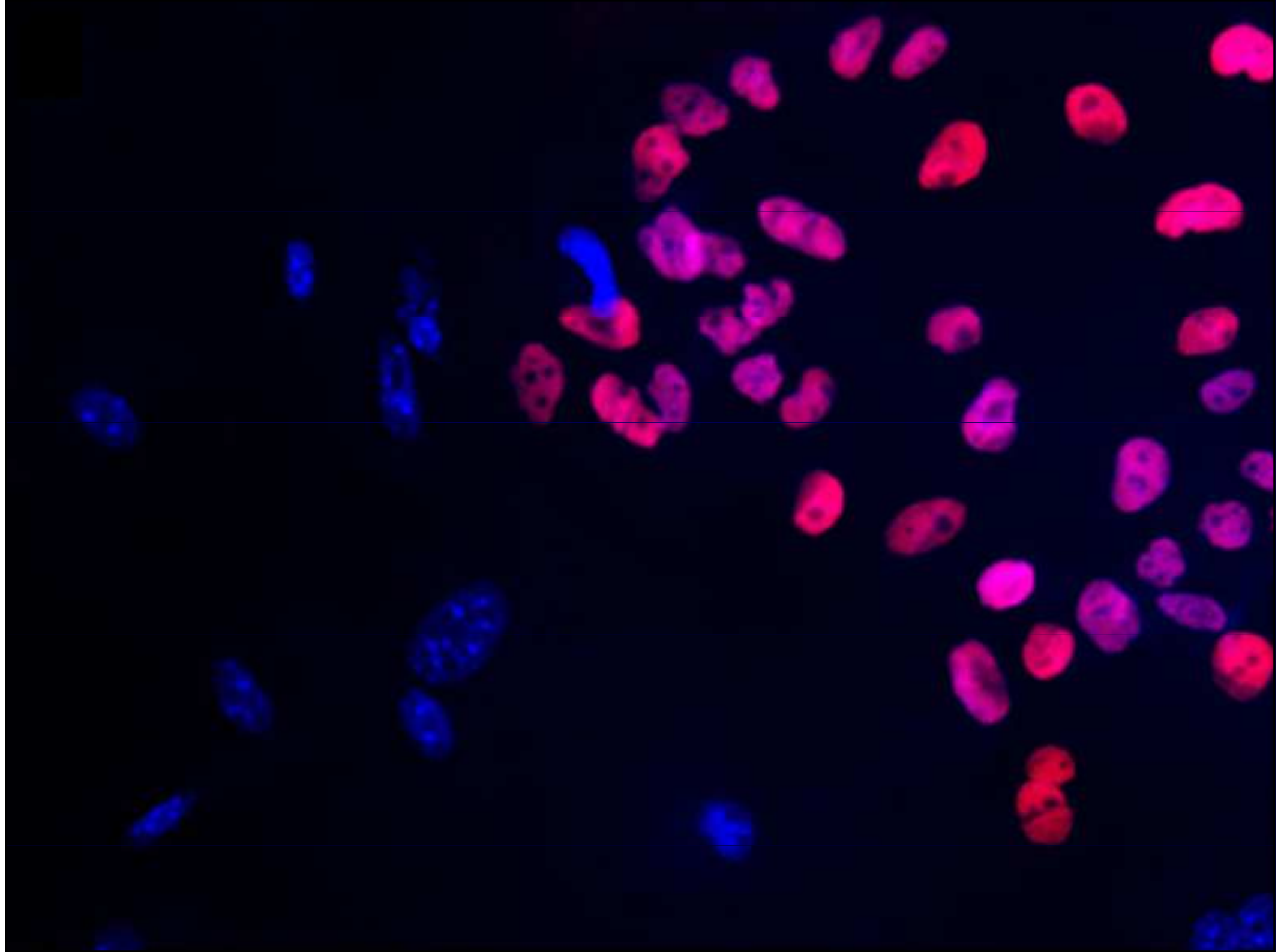
A**B****C**

(Bártová et al., Differentiation, 2008)
 (Bártová et al., Developmental Dynamics, 2008)

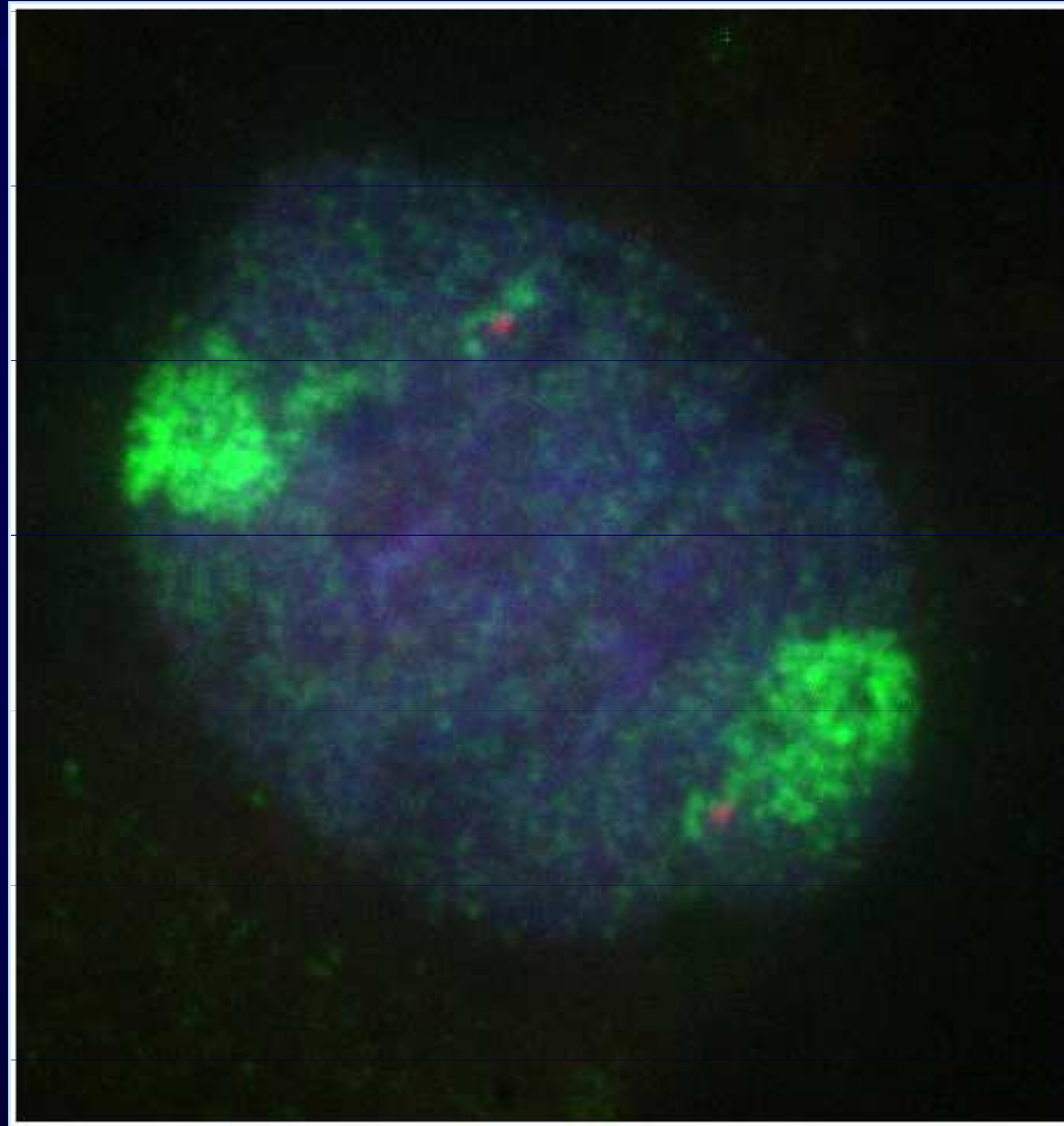
Mouse embryonal carcinoma cells P19



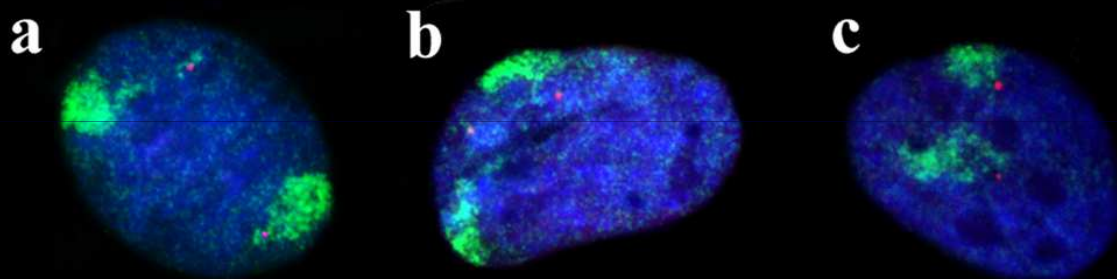
(Bártová et al., Histochem. Cell Biol., 2007)



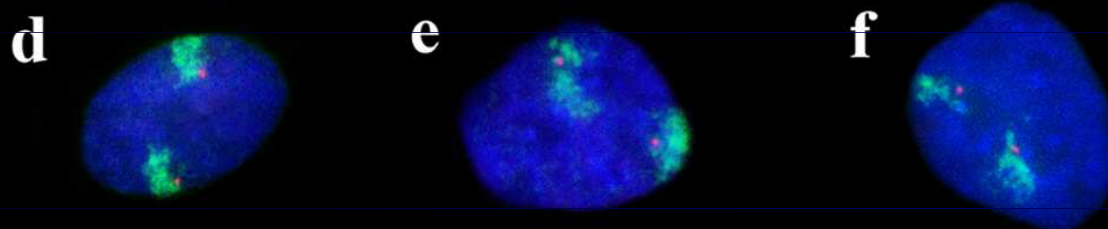
Oct3/4 and HSA6 in human ESCs



Oct4 / HSA 6 in hES cells



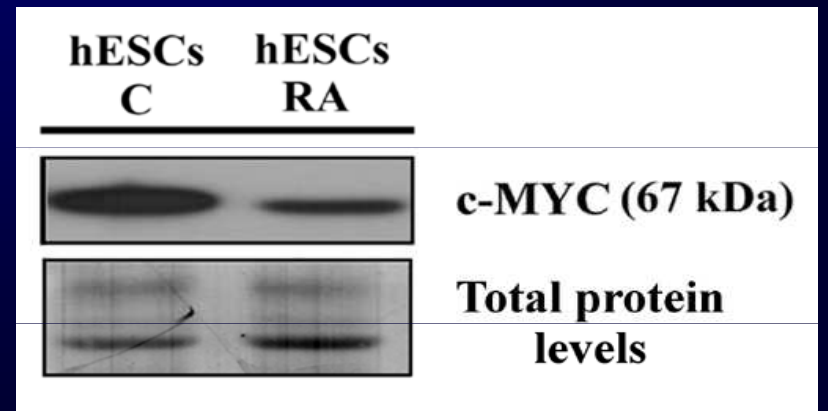
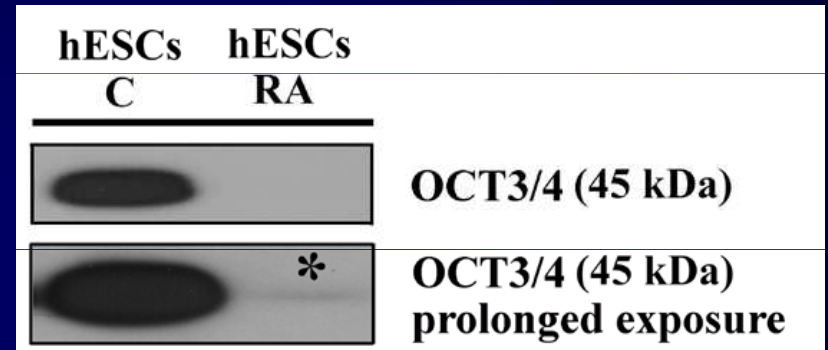
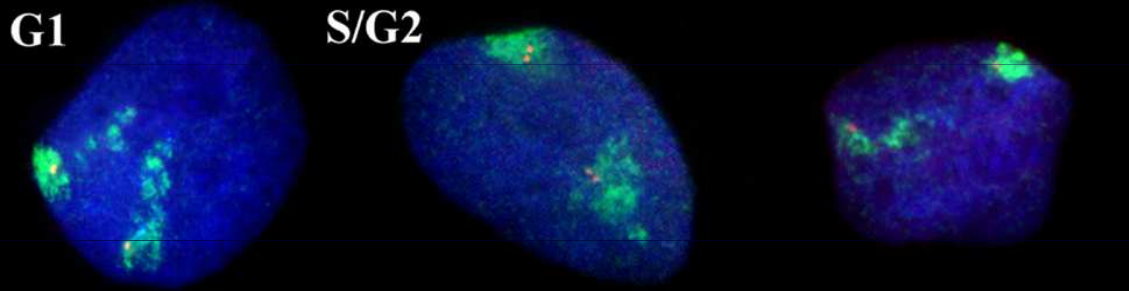
Oct4 / HSA 6 in hES cells - RA differentiated



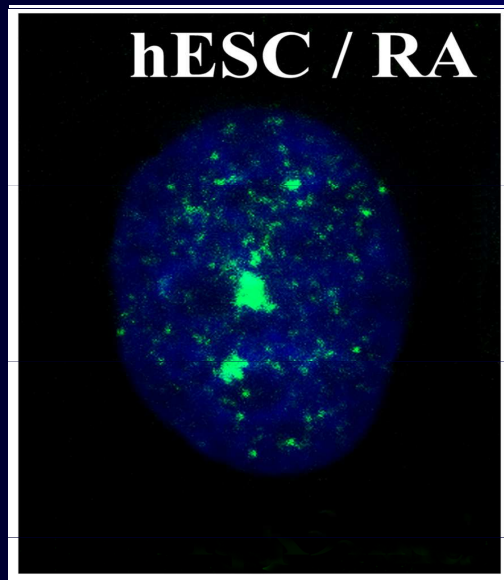
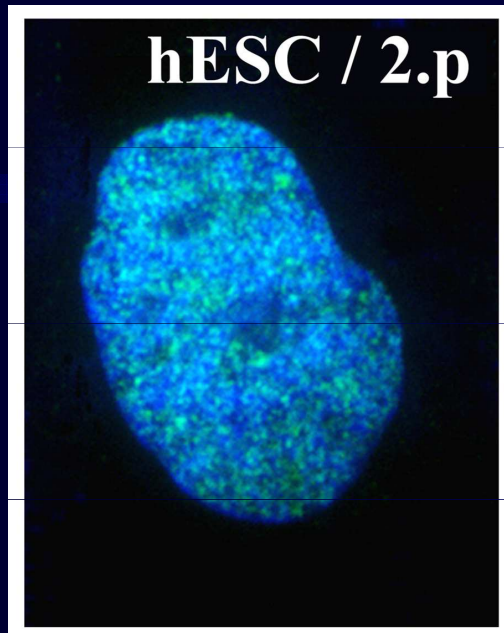
C-myc / HSA 8

in hES cells

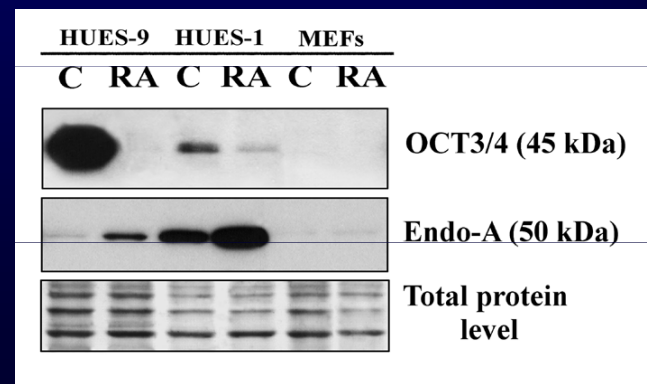
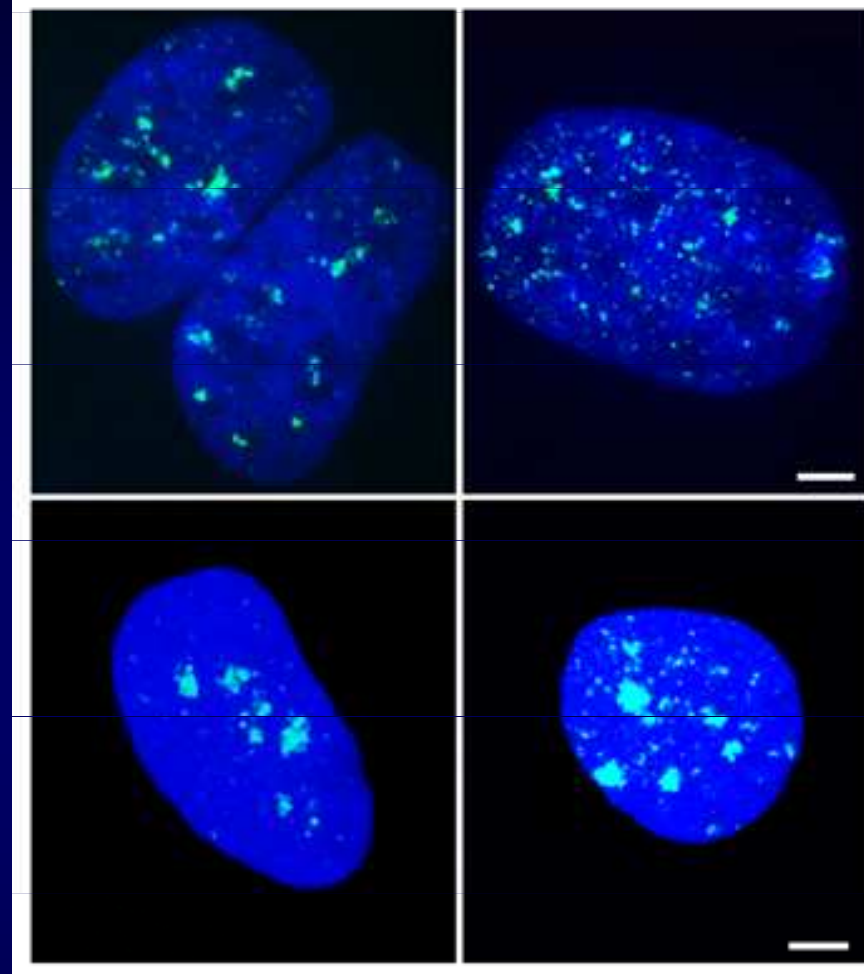
RA differentiated



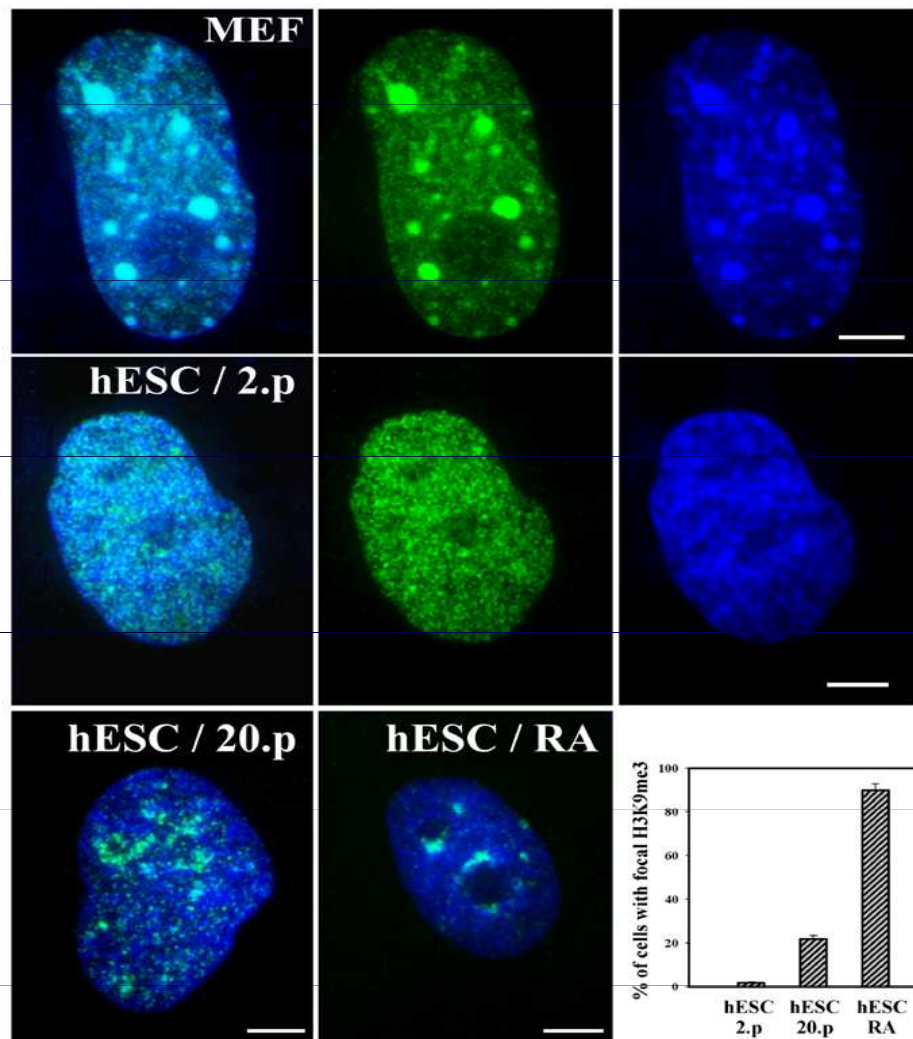
H3K9me3 / HUES-9



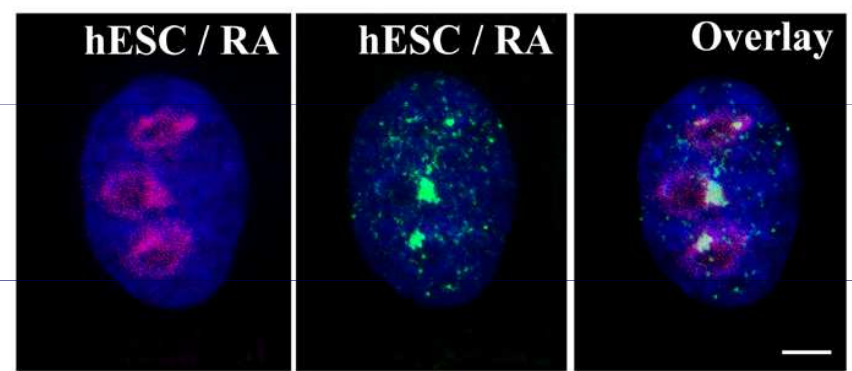
H3K9me3 / DNA / HUES-1



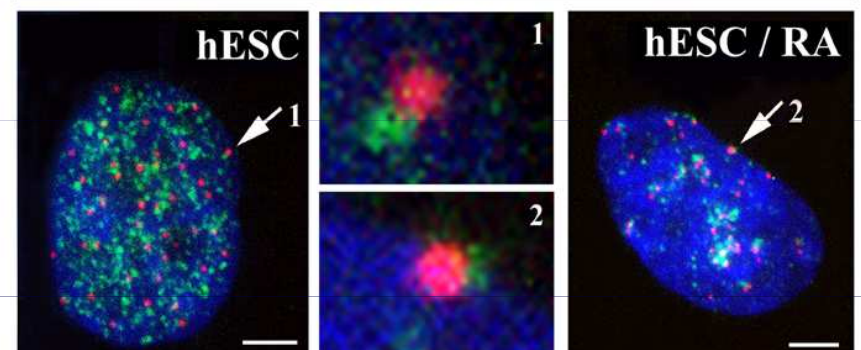
A H3K9me3 / DNA / HUES-9



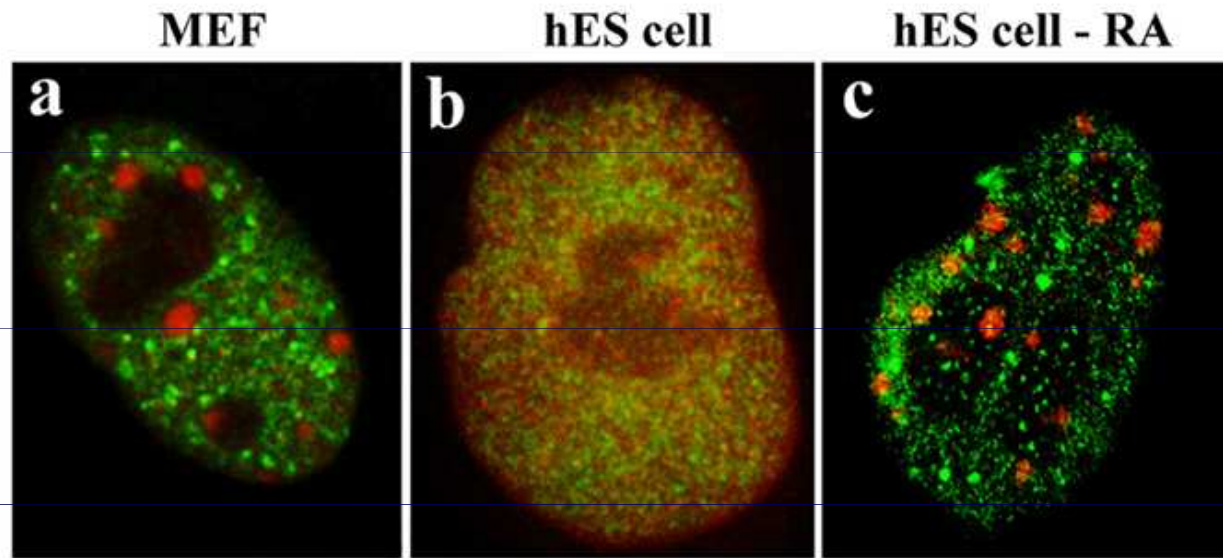
B H3K9me3 / Nucleoli / DNA



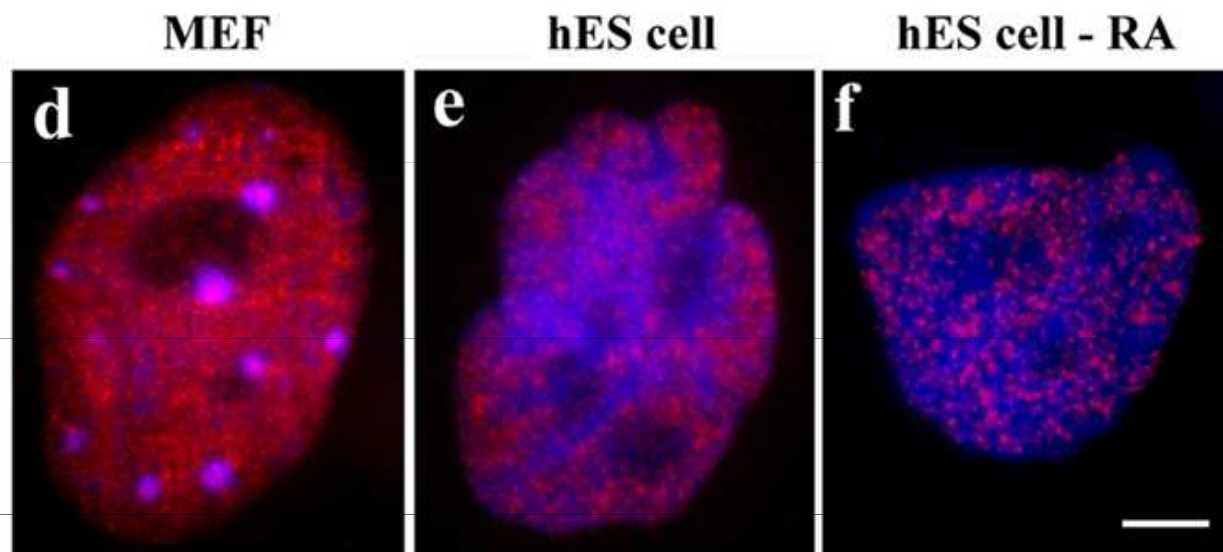
C H3K9me3 / CENP-A / DNA

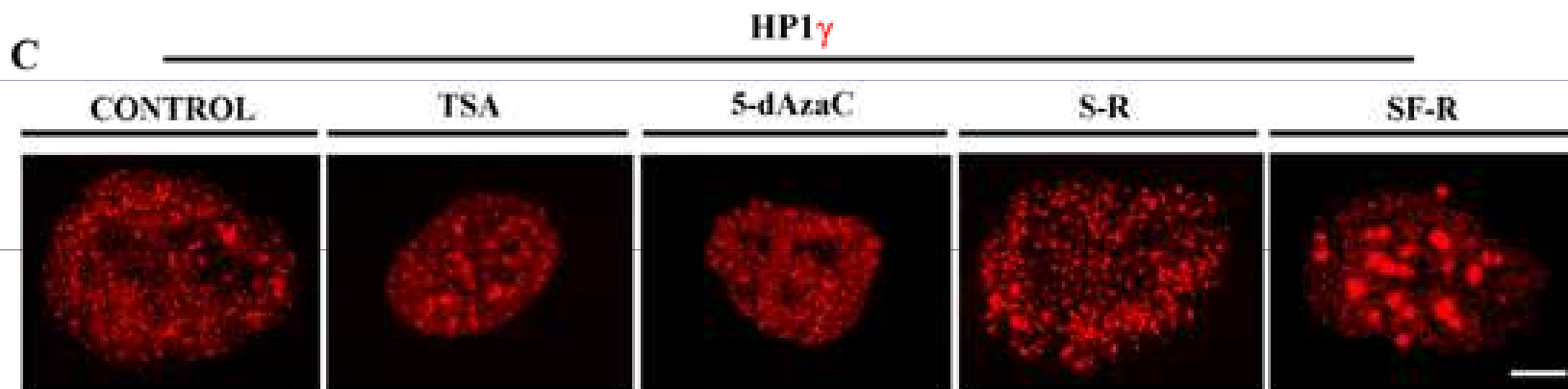
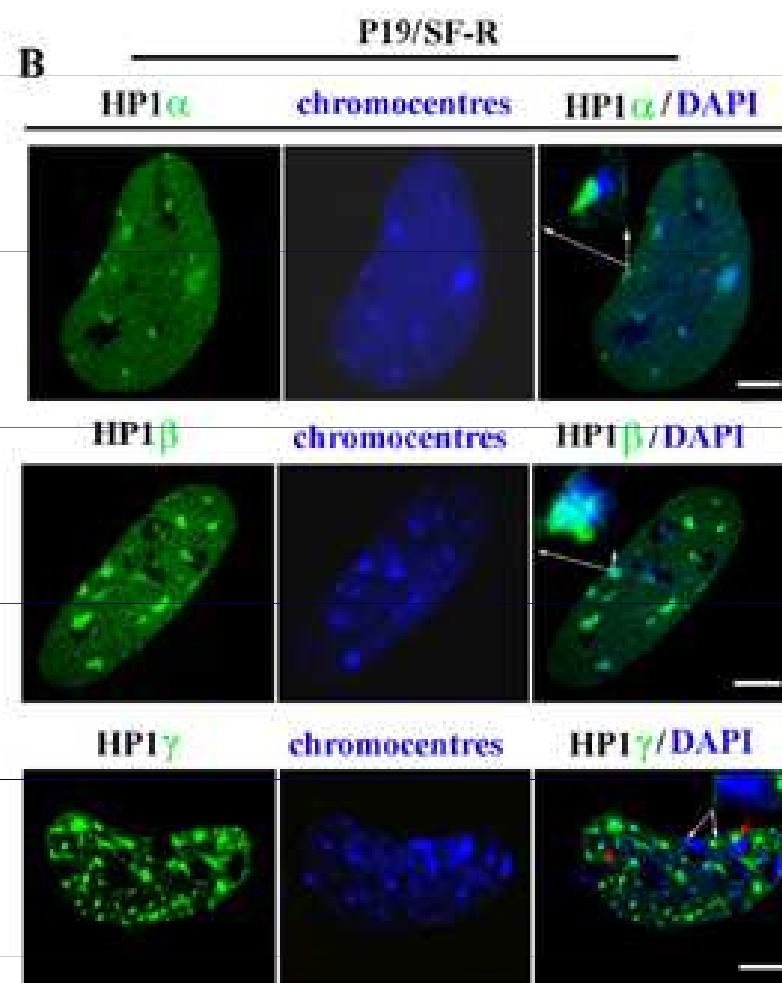
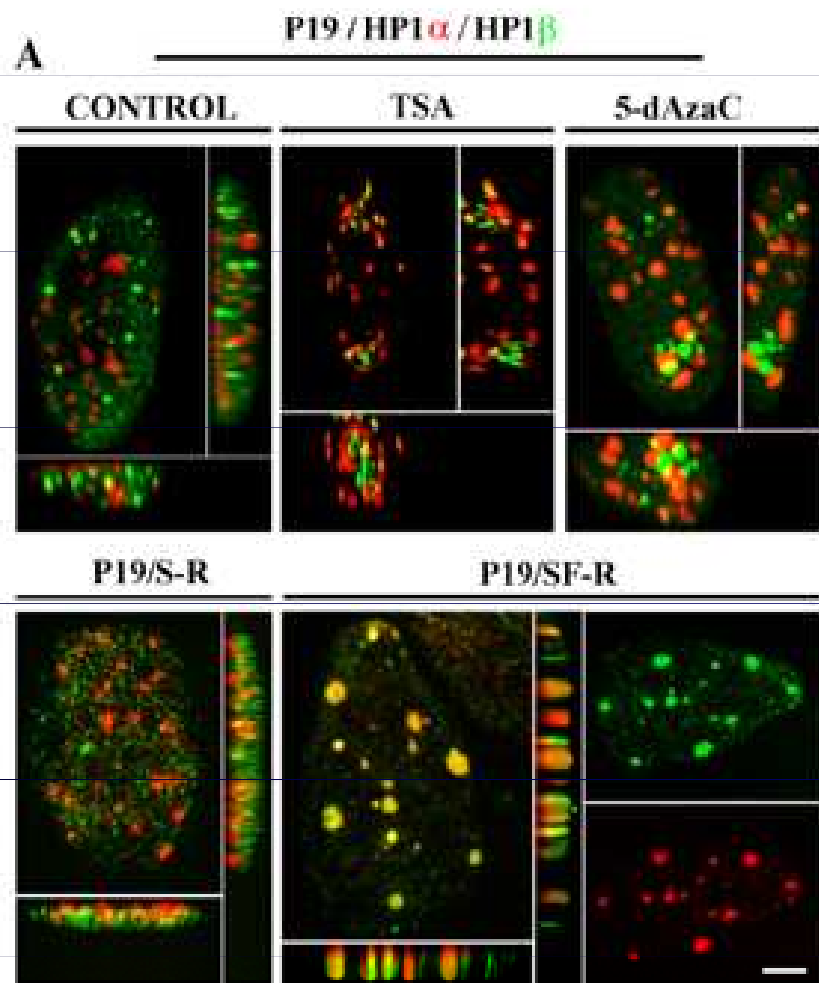


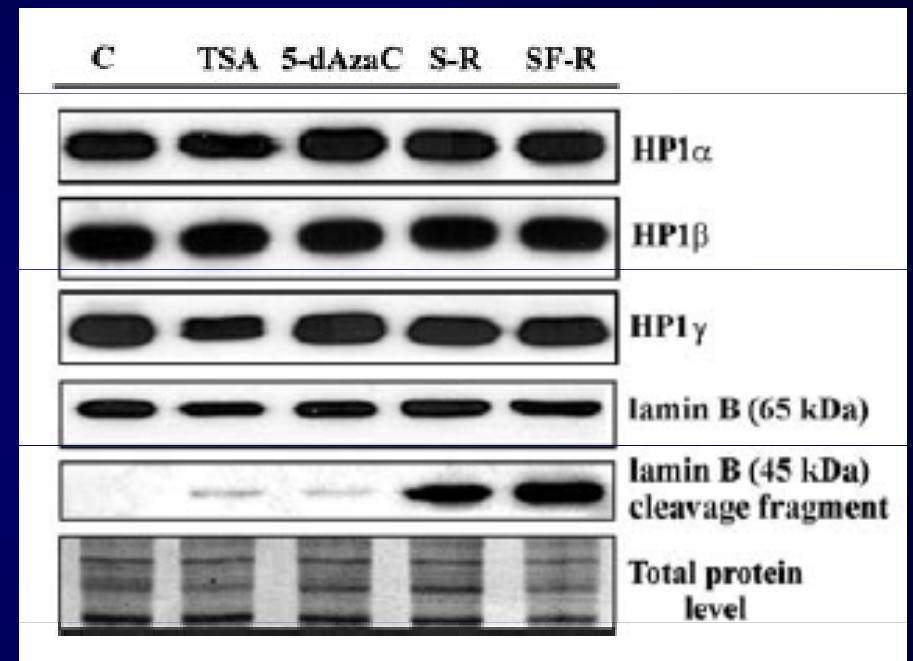
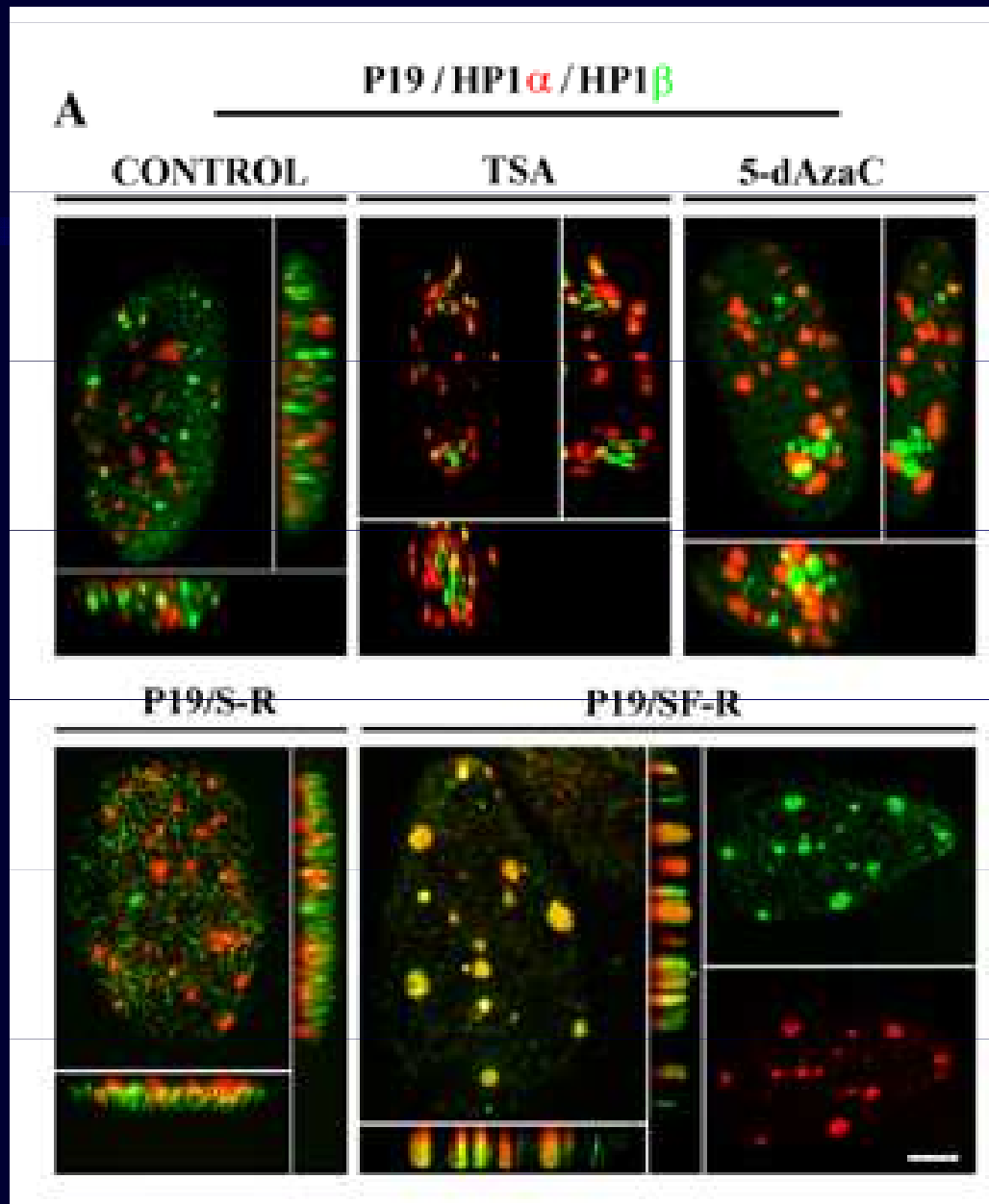
HP1 α / HP1 β



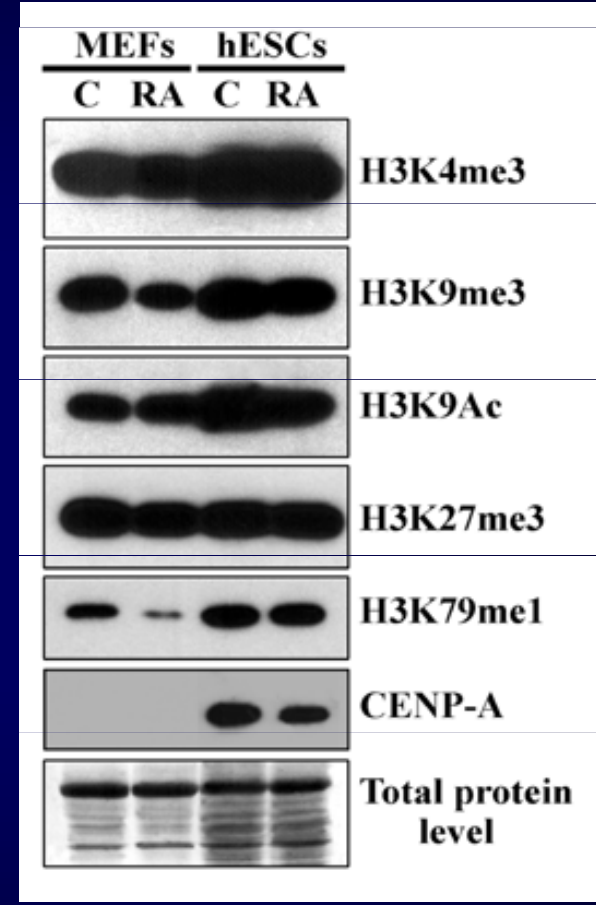
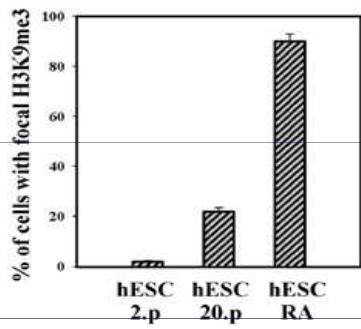
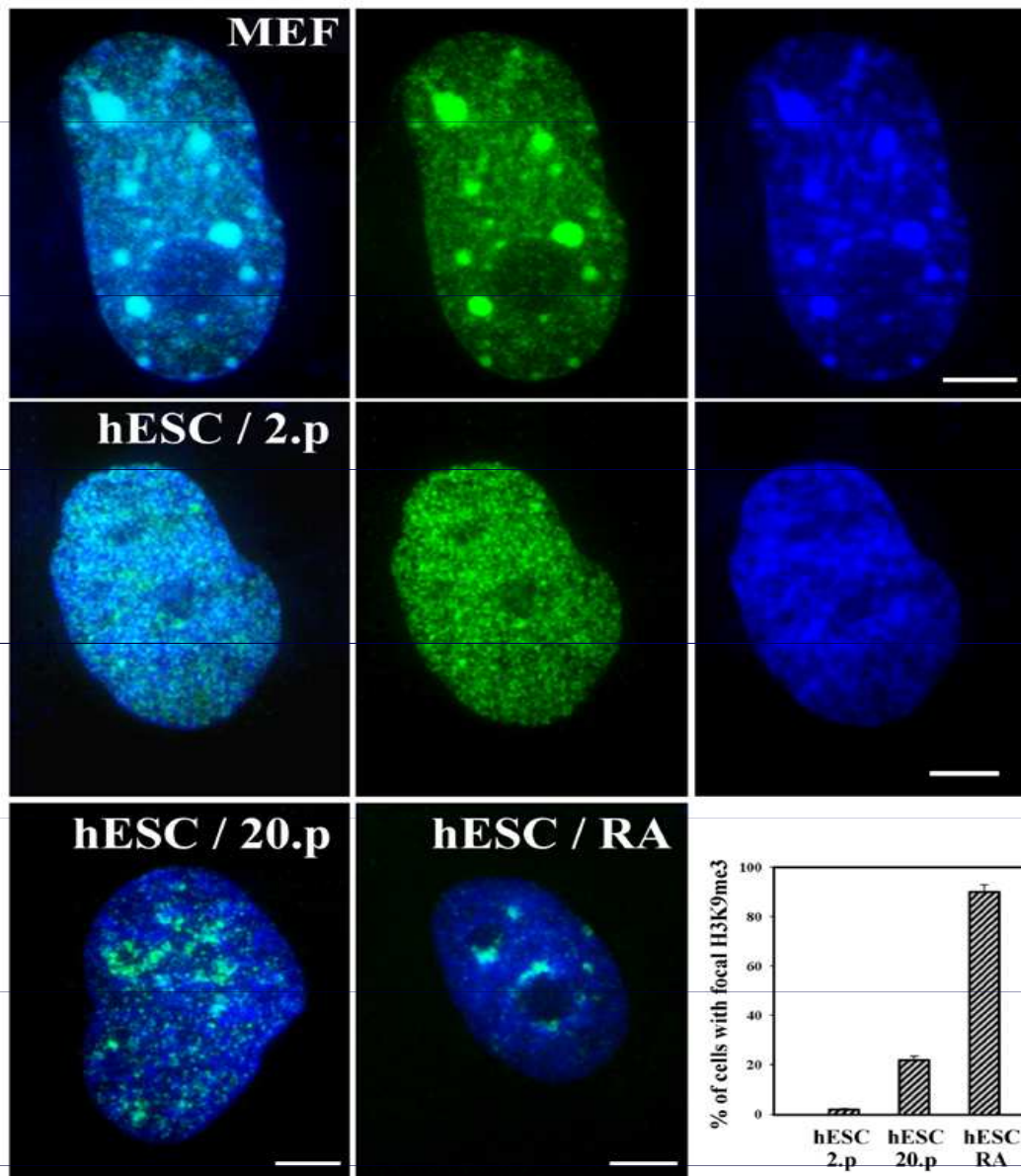
HP1 γ / nucleus



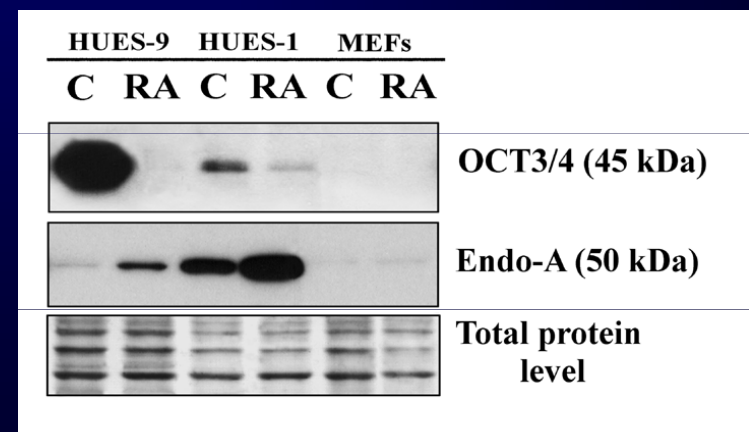
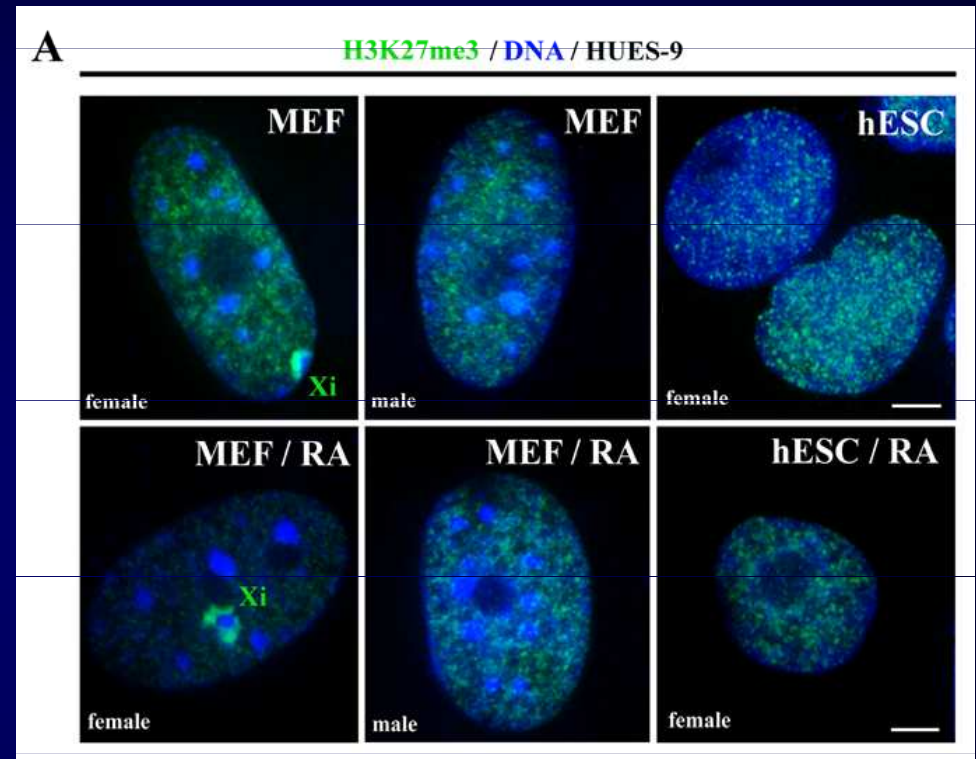
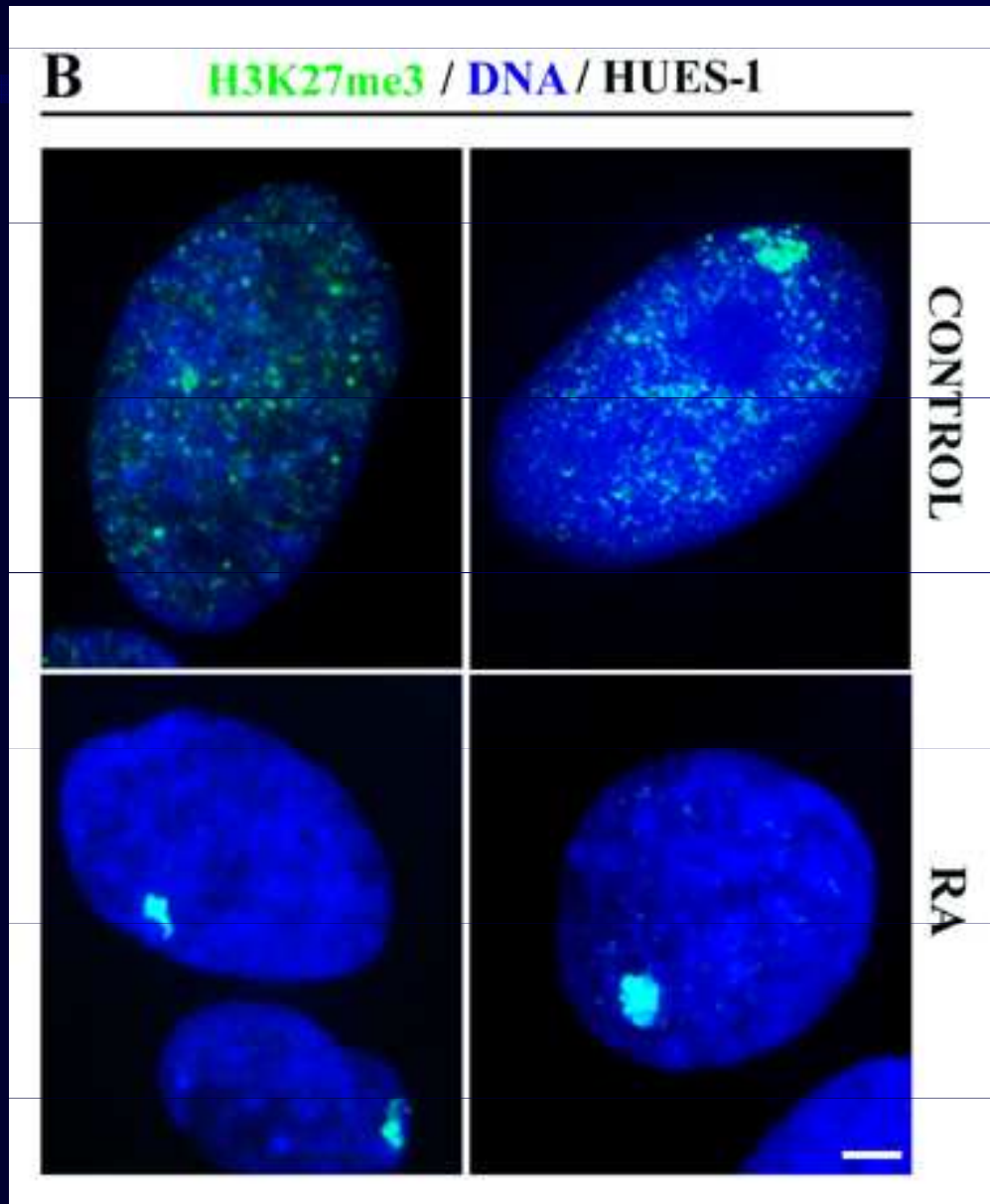


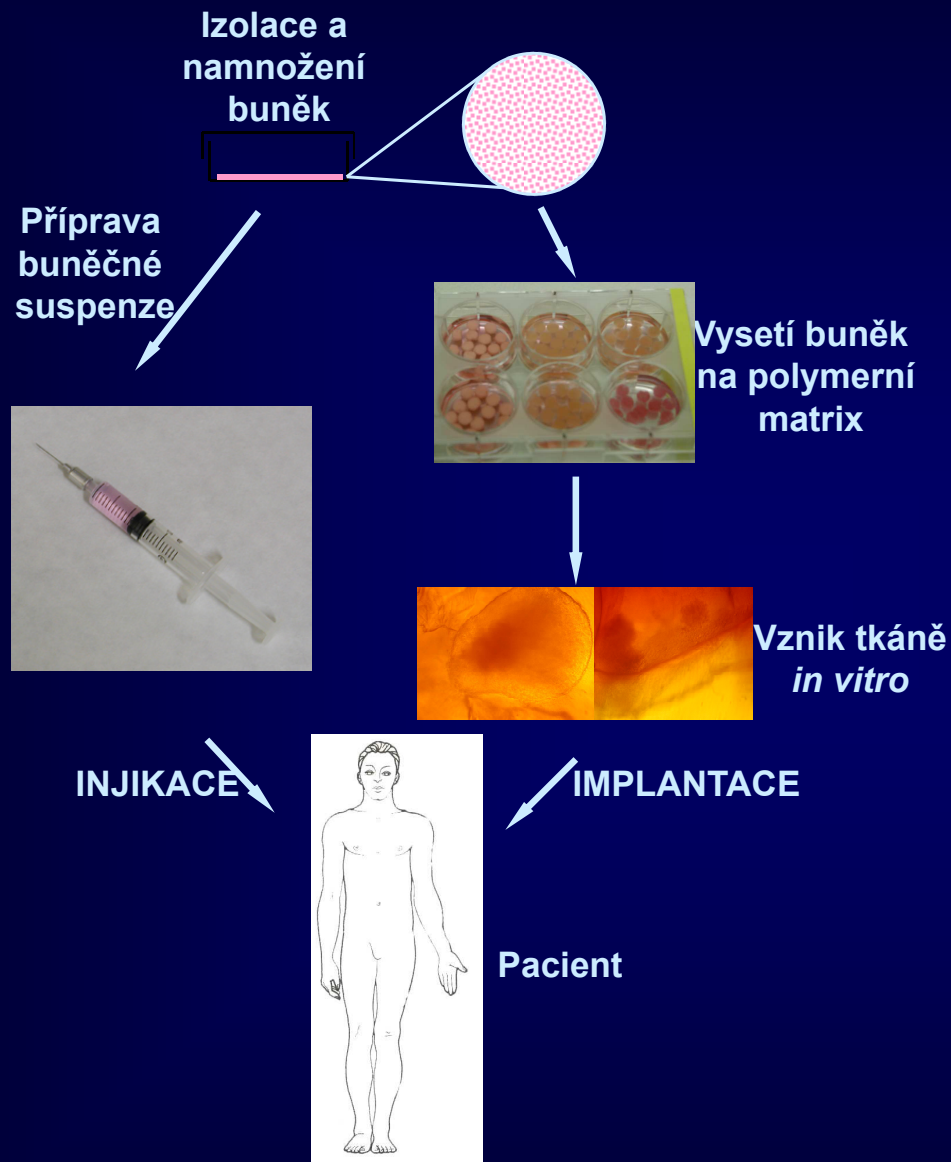


A **H3K9me3 / DNA / HUES-9**



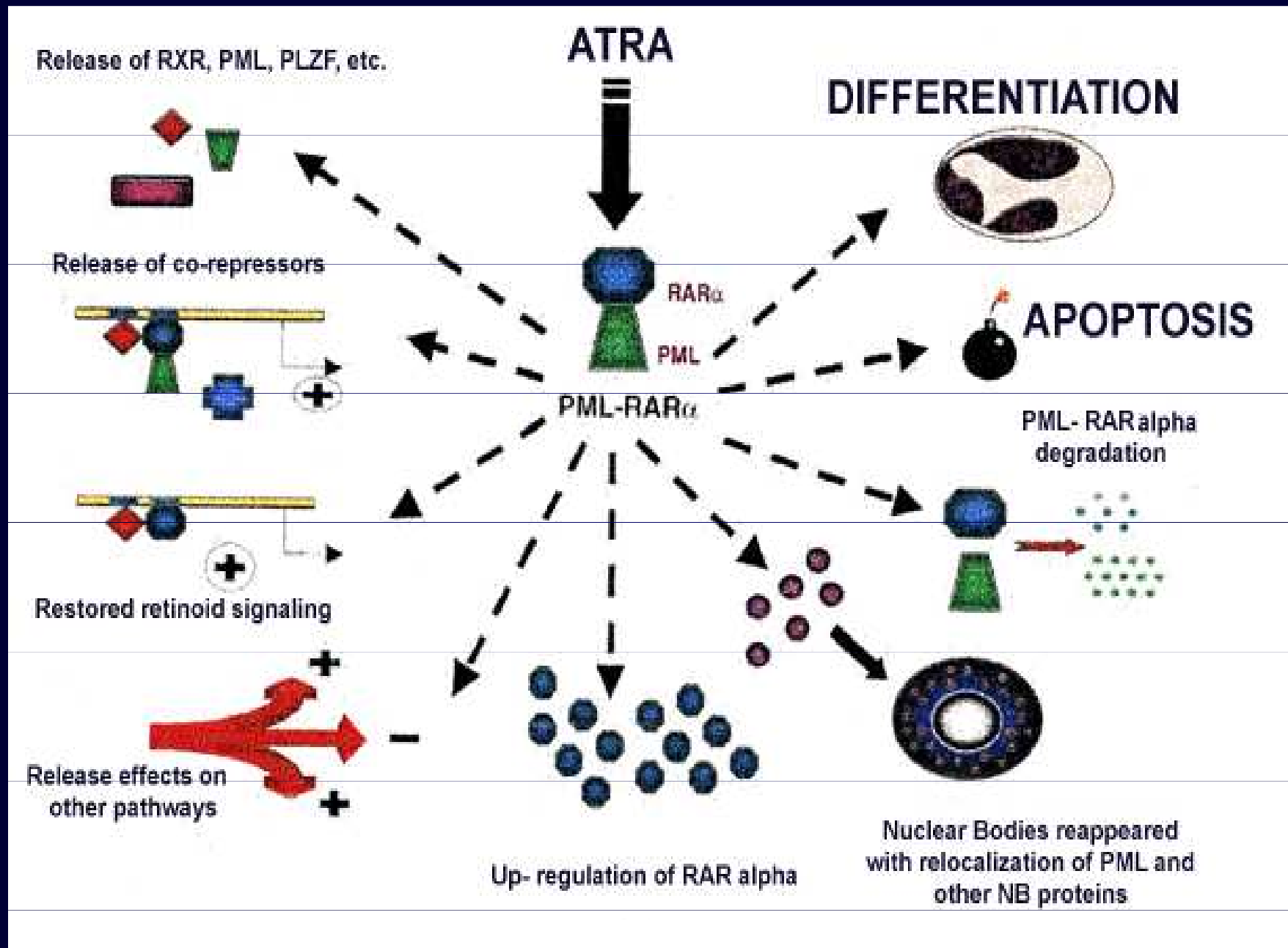
Inactivation of X chromosome in hESC

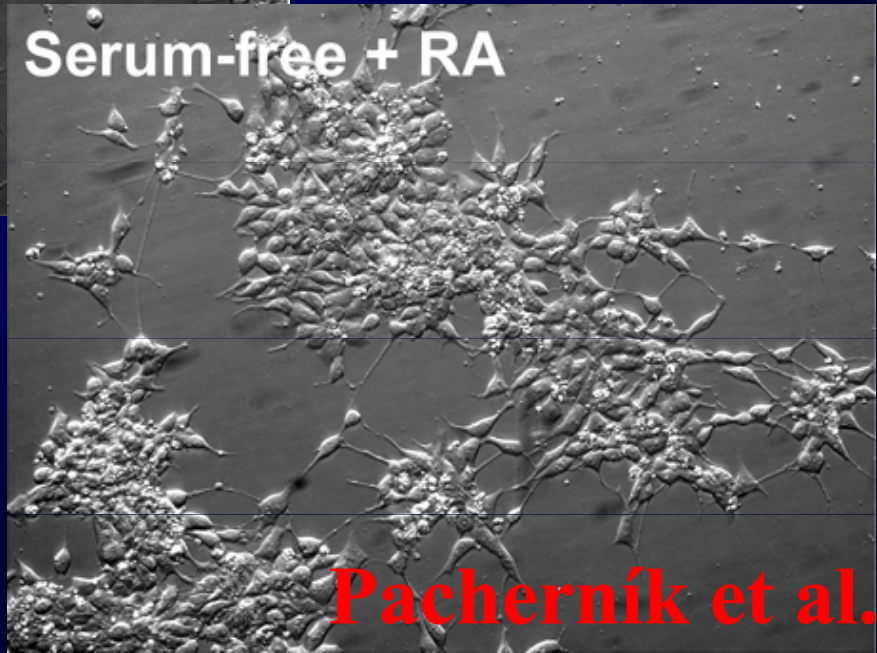
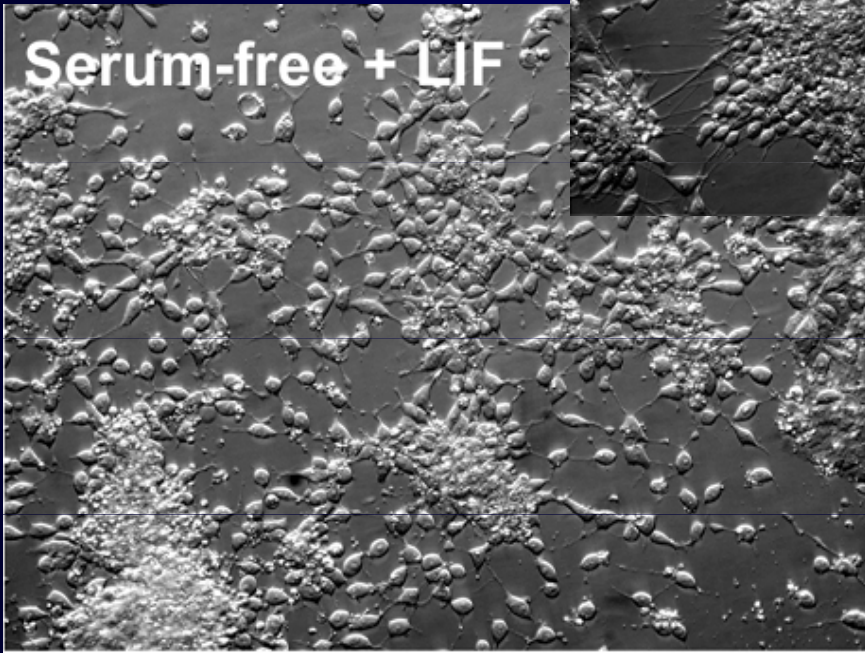
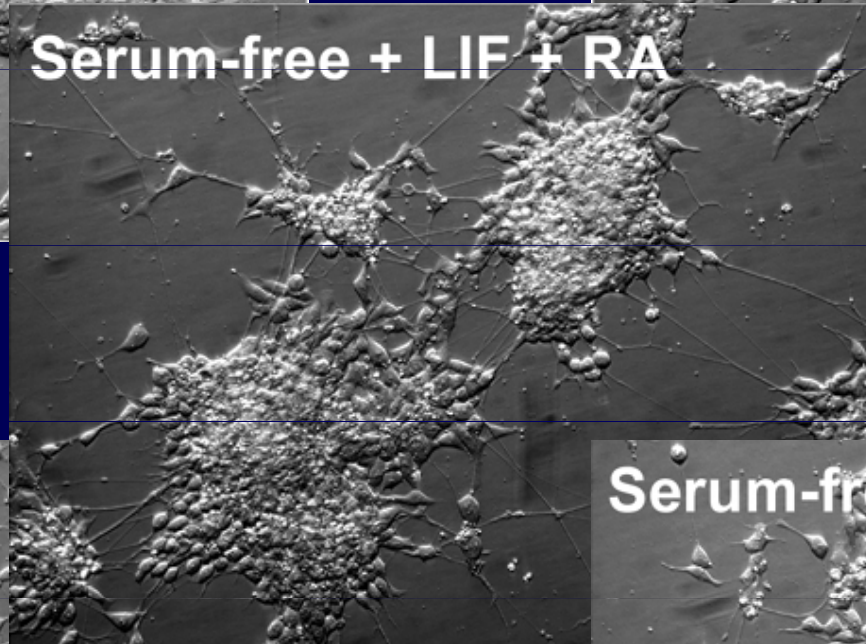
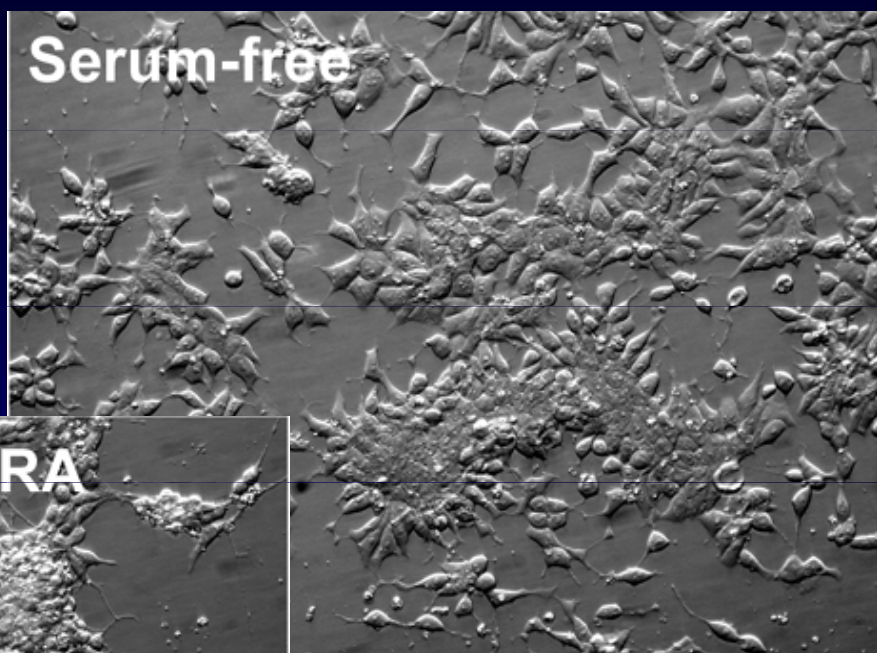
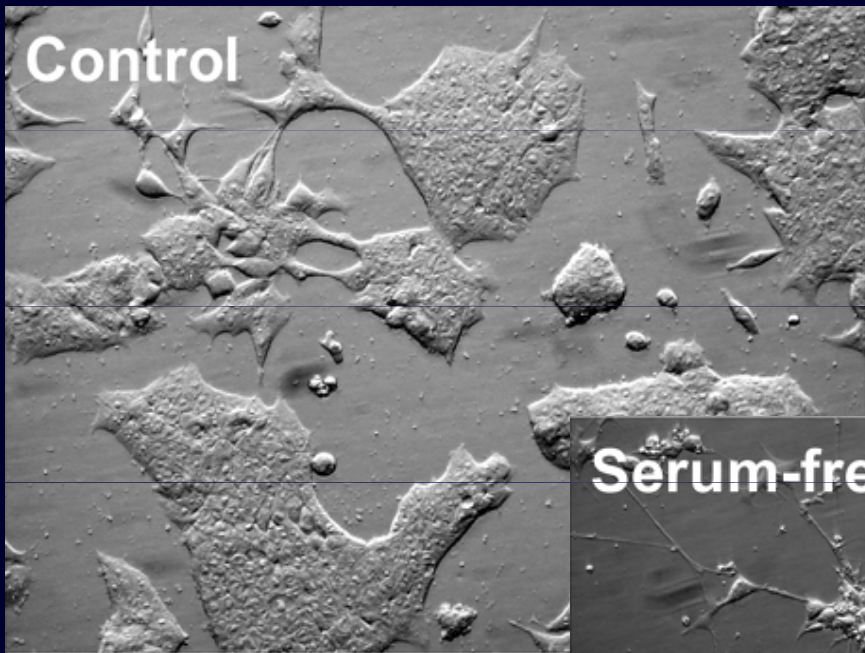




Schématické znázornění přístupů k buněčné terapii.

Buňky získané biopsií, diferenciací z ES nebo jiným způsobem se nechají narůst *in vitro*. Transplantace pak může být provedena pomocí injekce suspenze buněk nebo implantací nové trojrozměrné tkáně na místo již odstraněné nefunkční části orgánu.





Pachernik et al.

Bone marrow

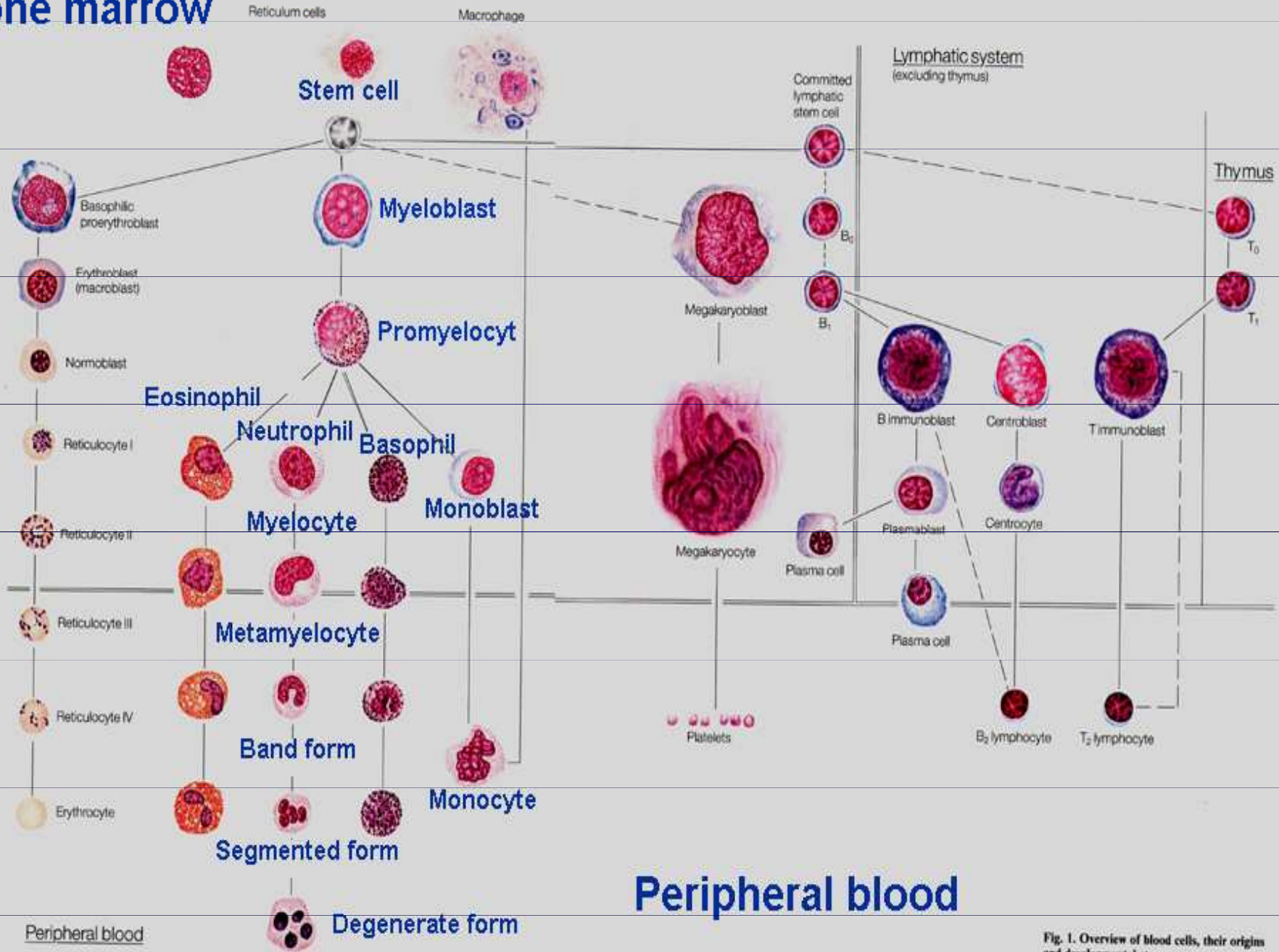
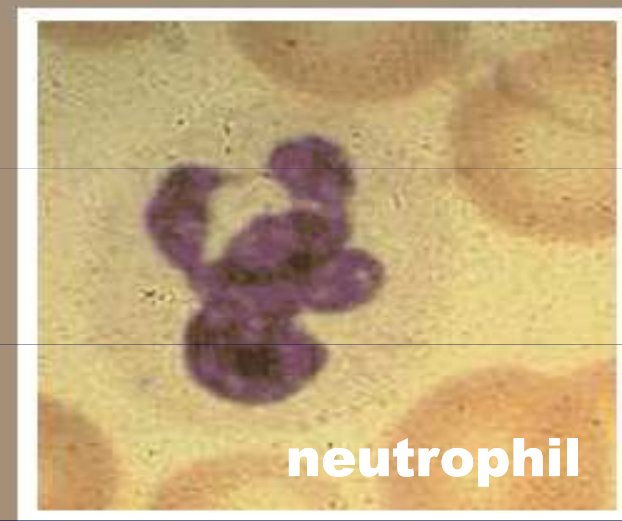
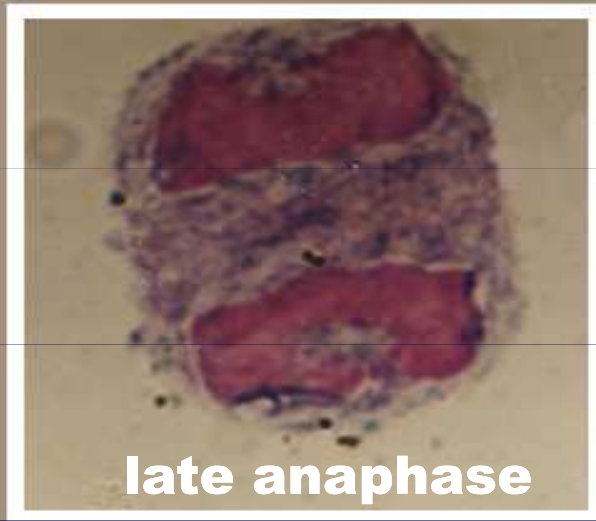
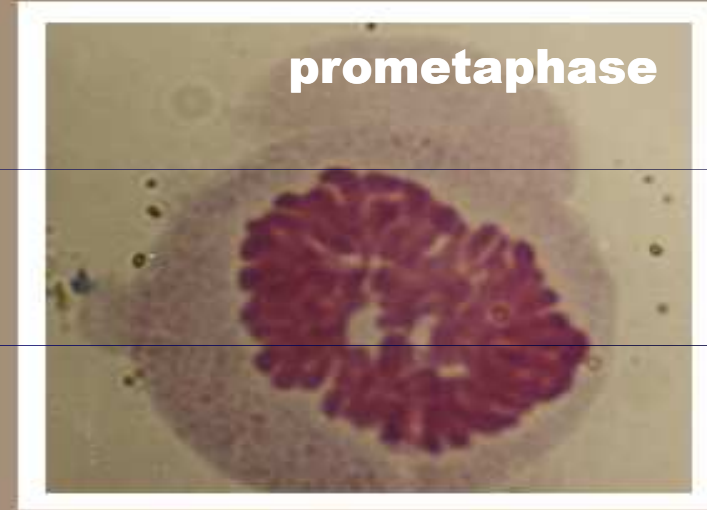
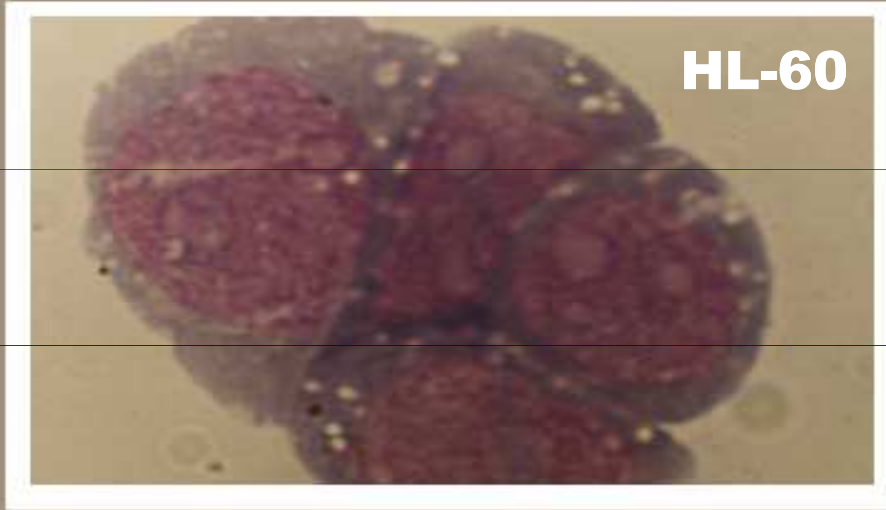
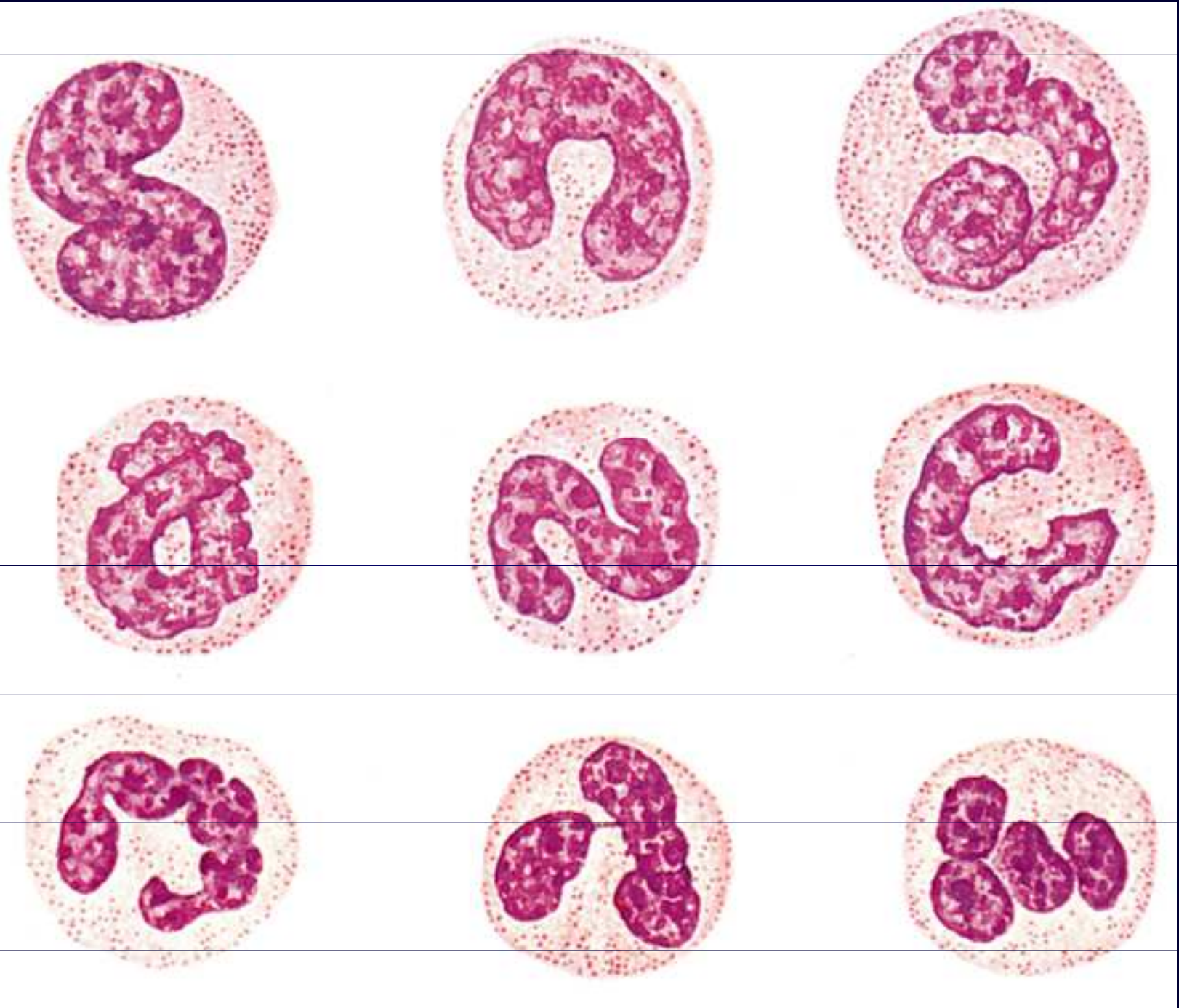


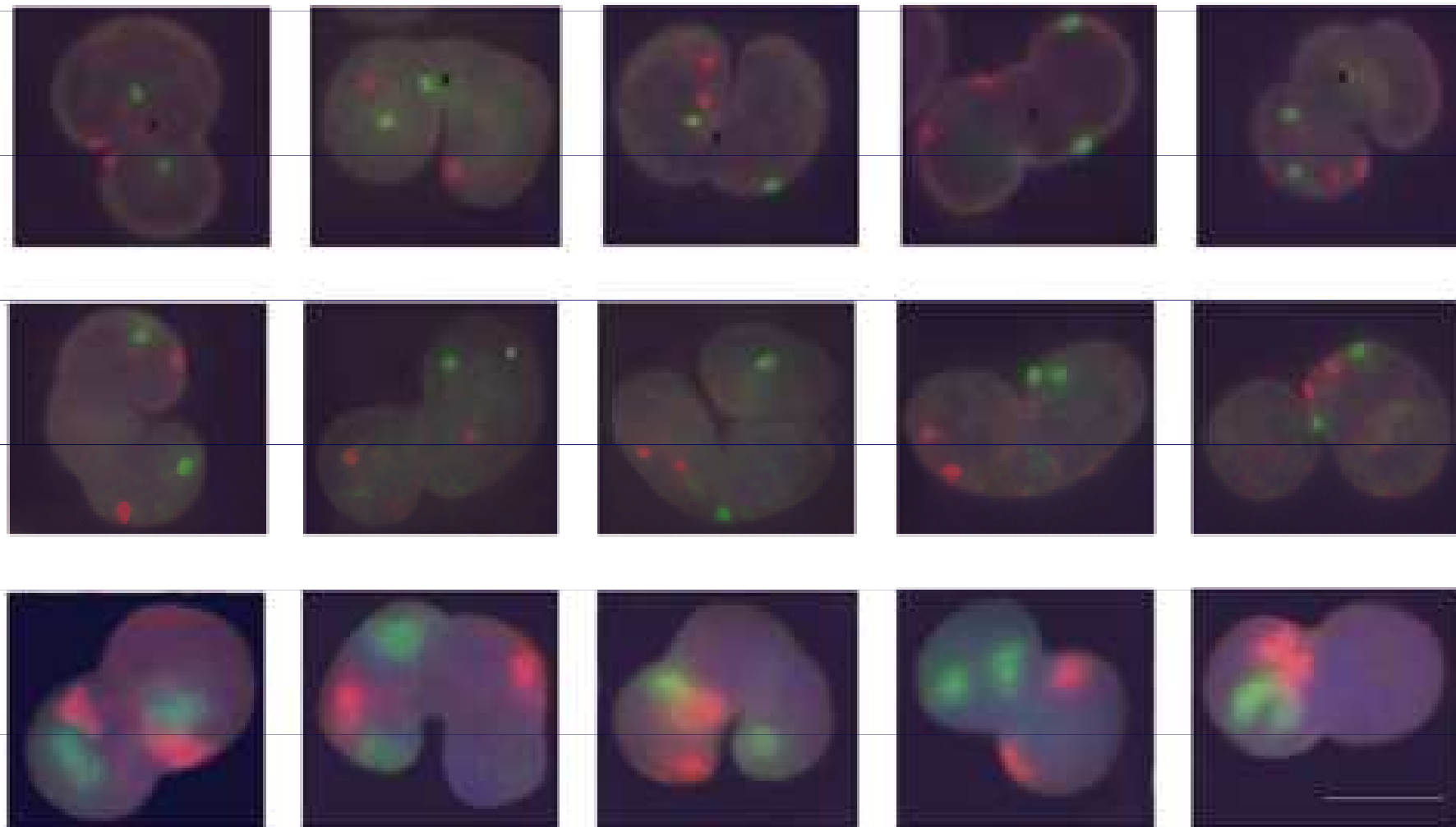
Fig. 1. Overview of blood cells, their origins and developmental stages

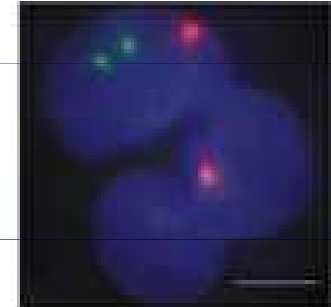
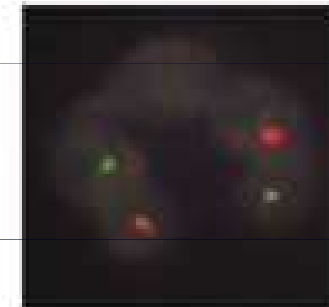
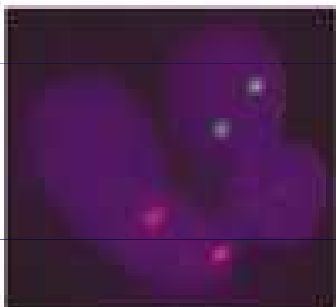
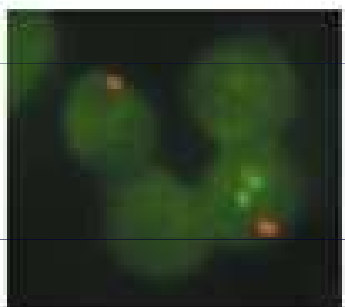
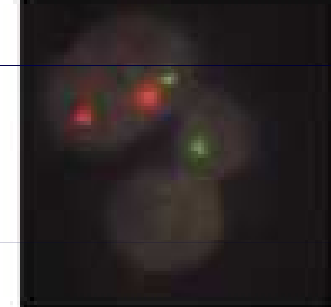
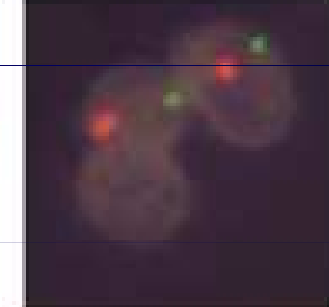
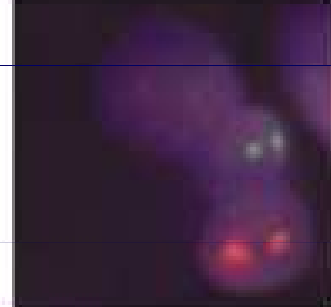
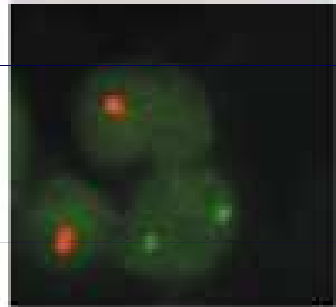
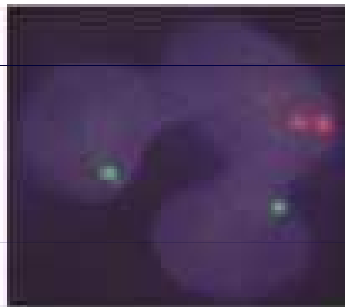
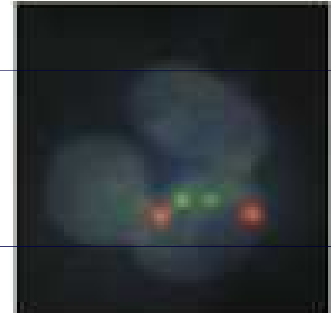
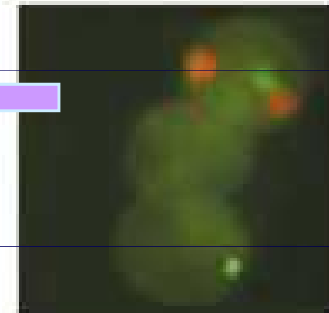
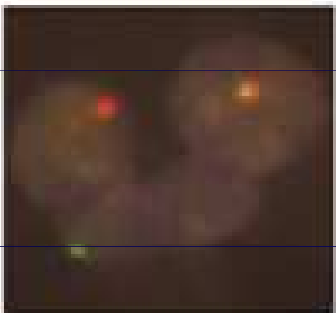
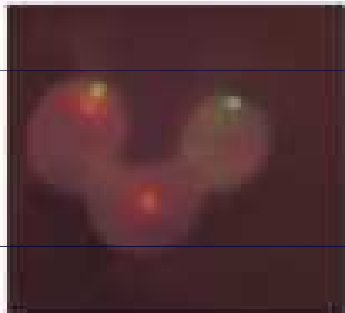
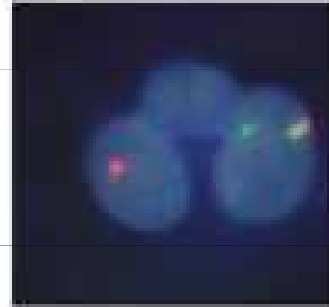
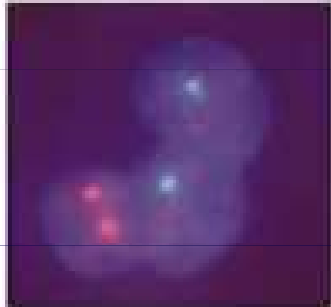
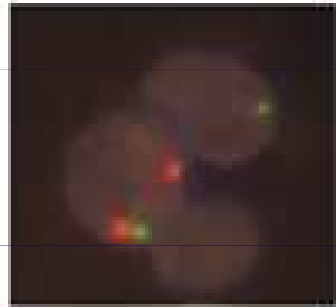
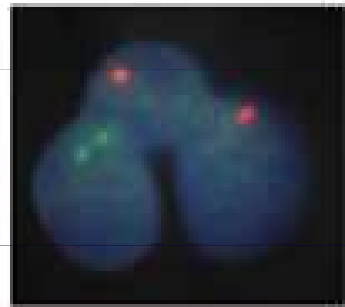
Morphology of human leukemic promyelocytic cell line HL60 and neutrophilic granulocyte



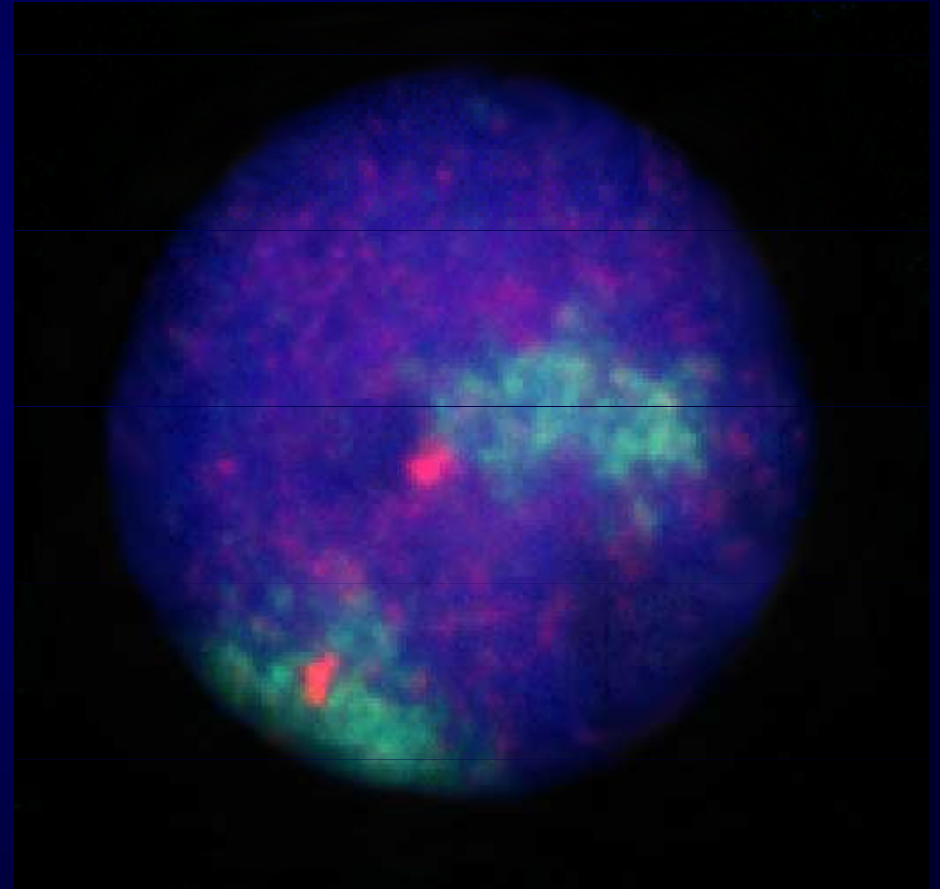
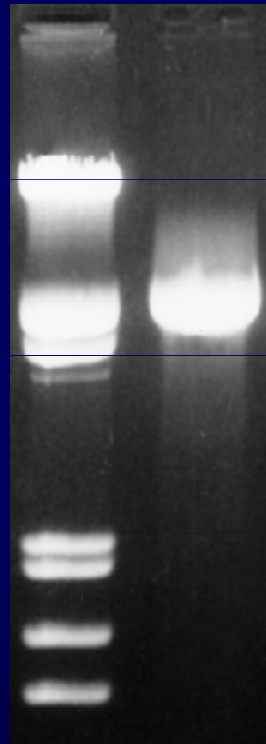
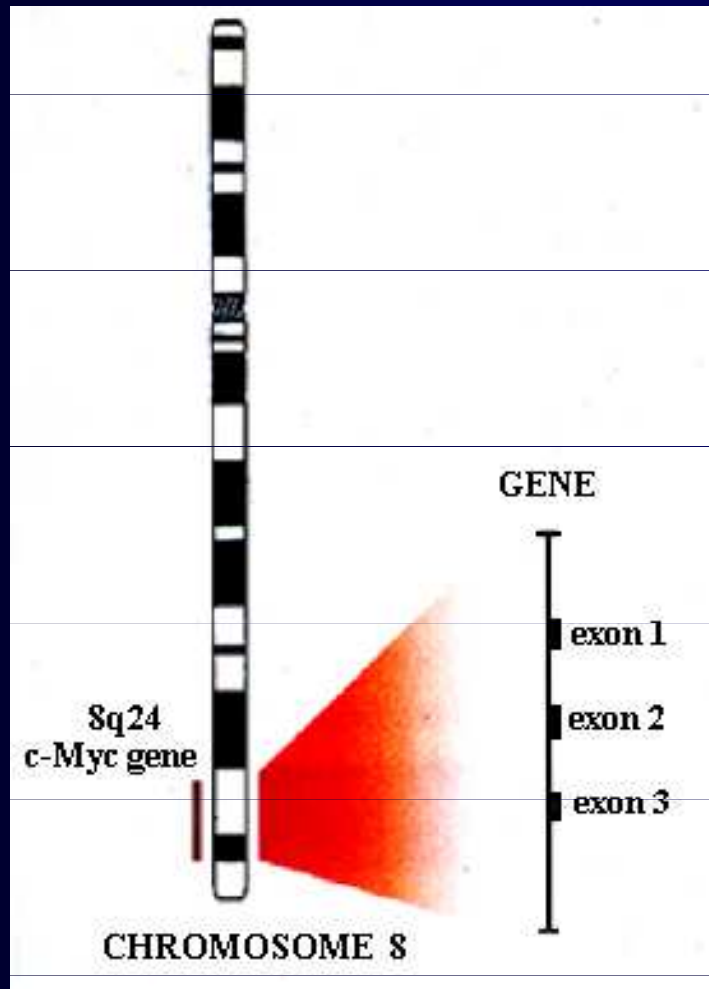


Topographic Types of Human Granulocytes

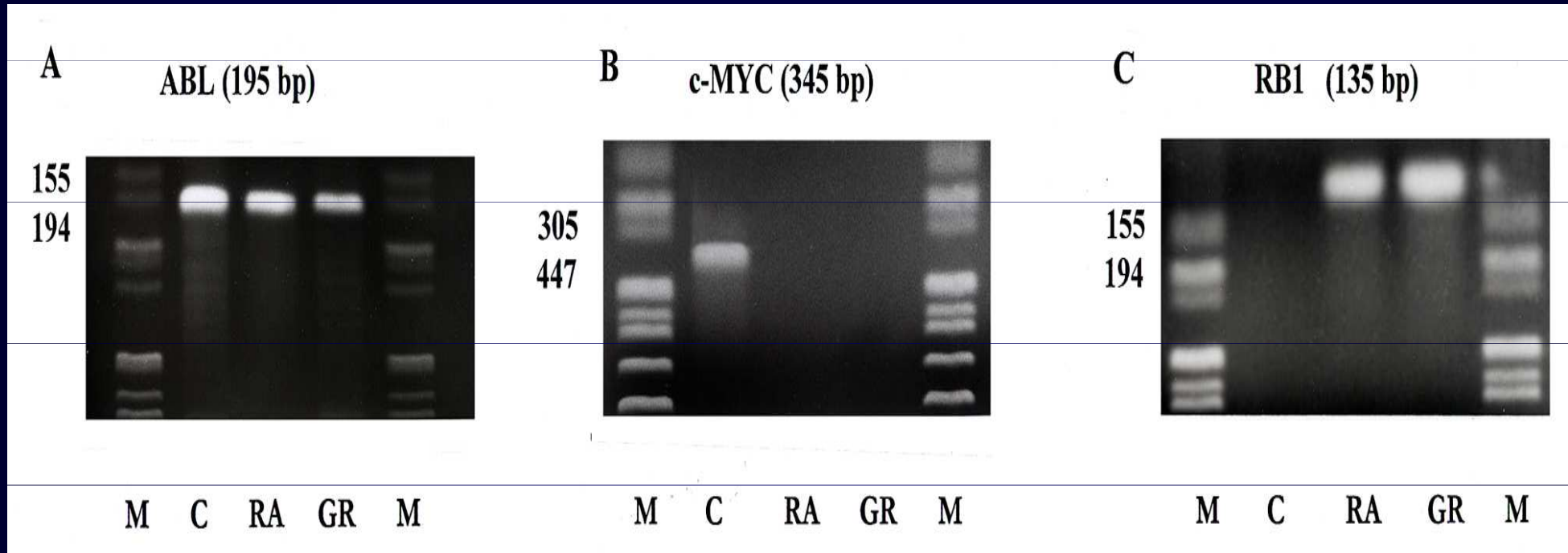




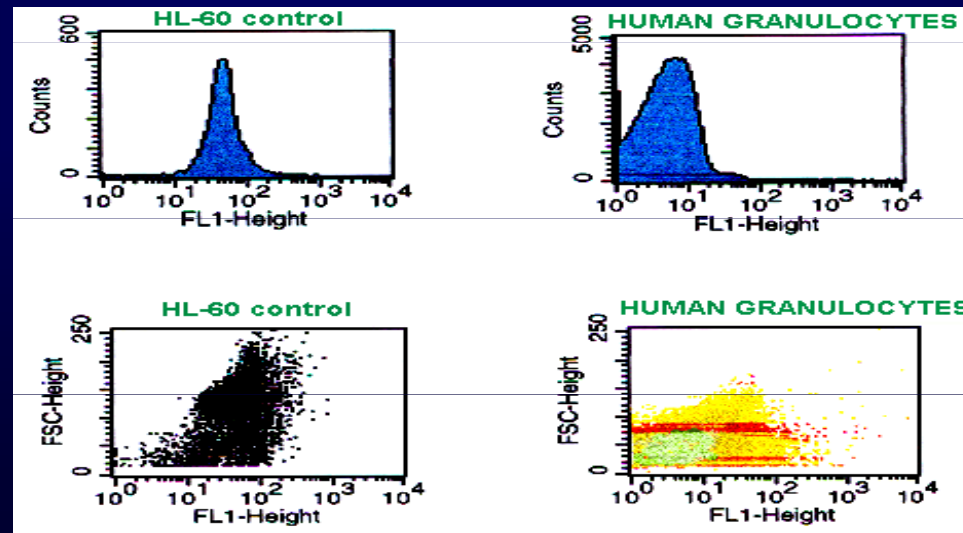
The C-myc Gene Nuclear Location



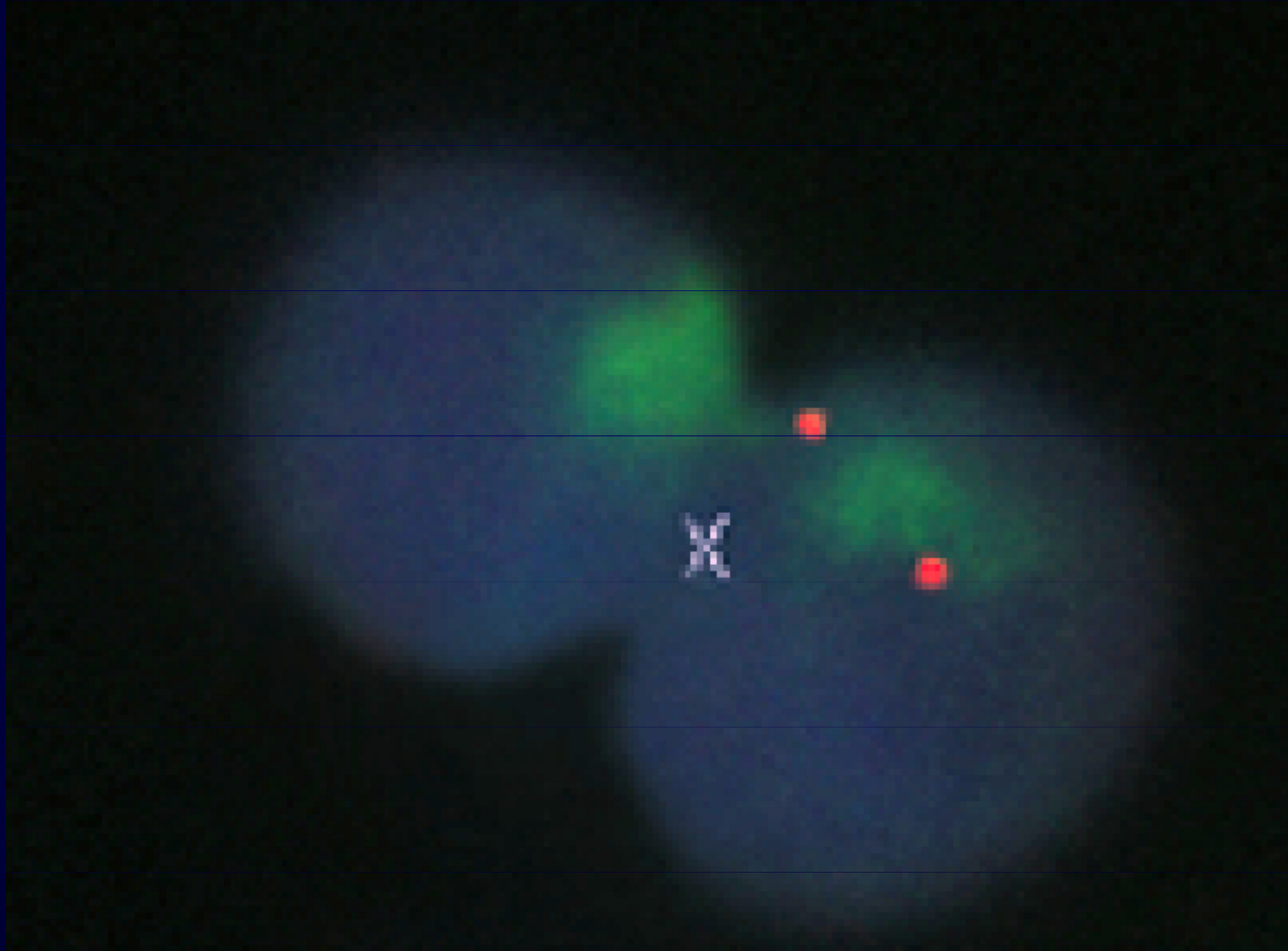
Changes in the expression of selected genes



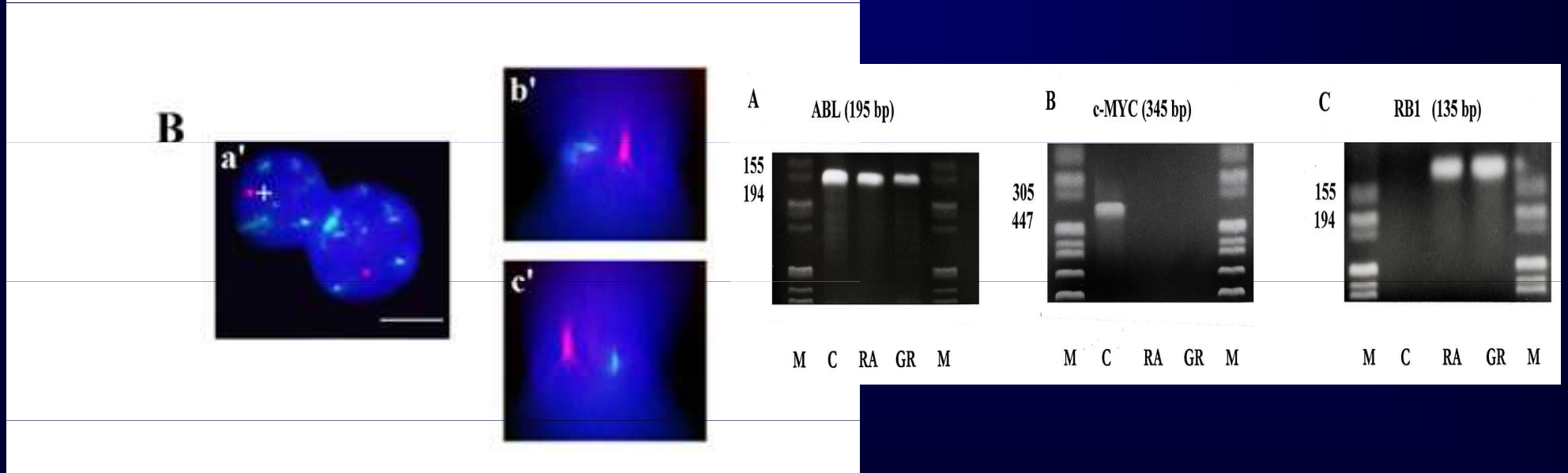
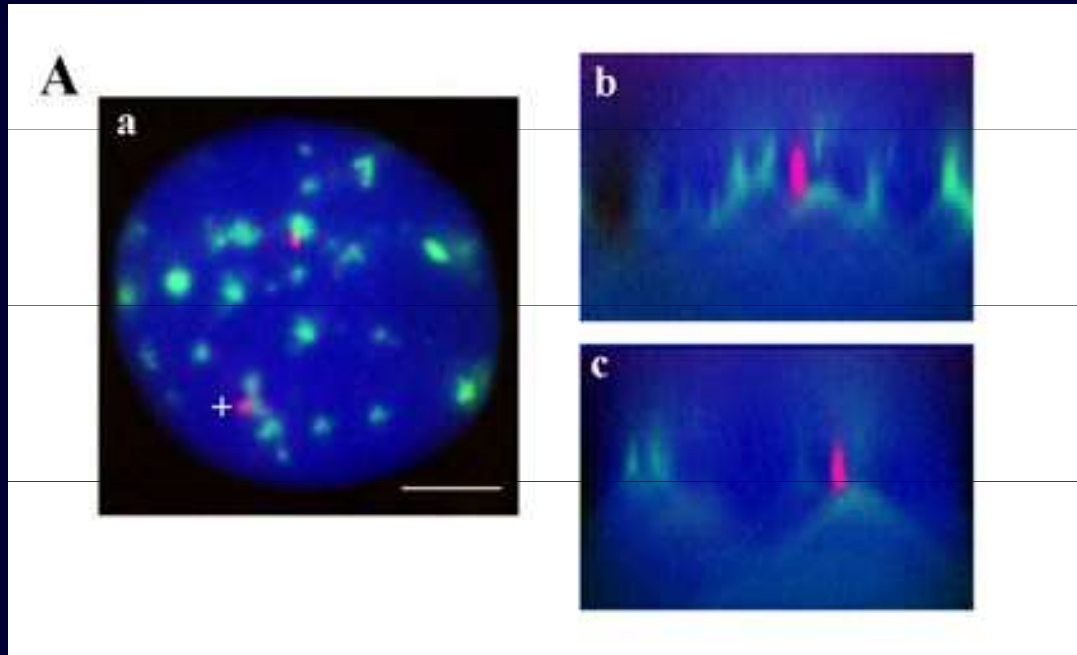
FCM
c-myc



The C-myc gene nuclear topography in granulocytic nuclei



Centromeric silencing



Gene location

Chromosome location

*C-MYC
*p83
*ABL *BCR

3 6 16

X

2,4,7,8,9,12,13

1,5,10,11,14,
15,17,18,20,22

21
19

21
19

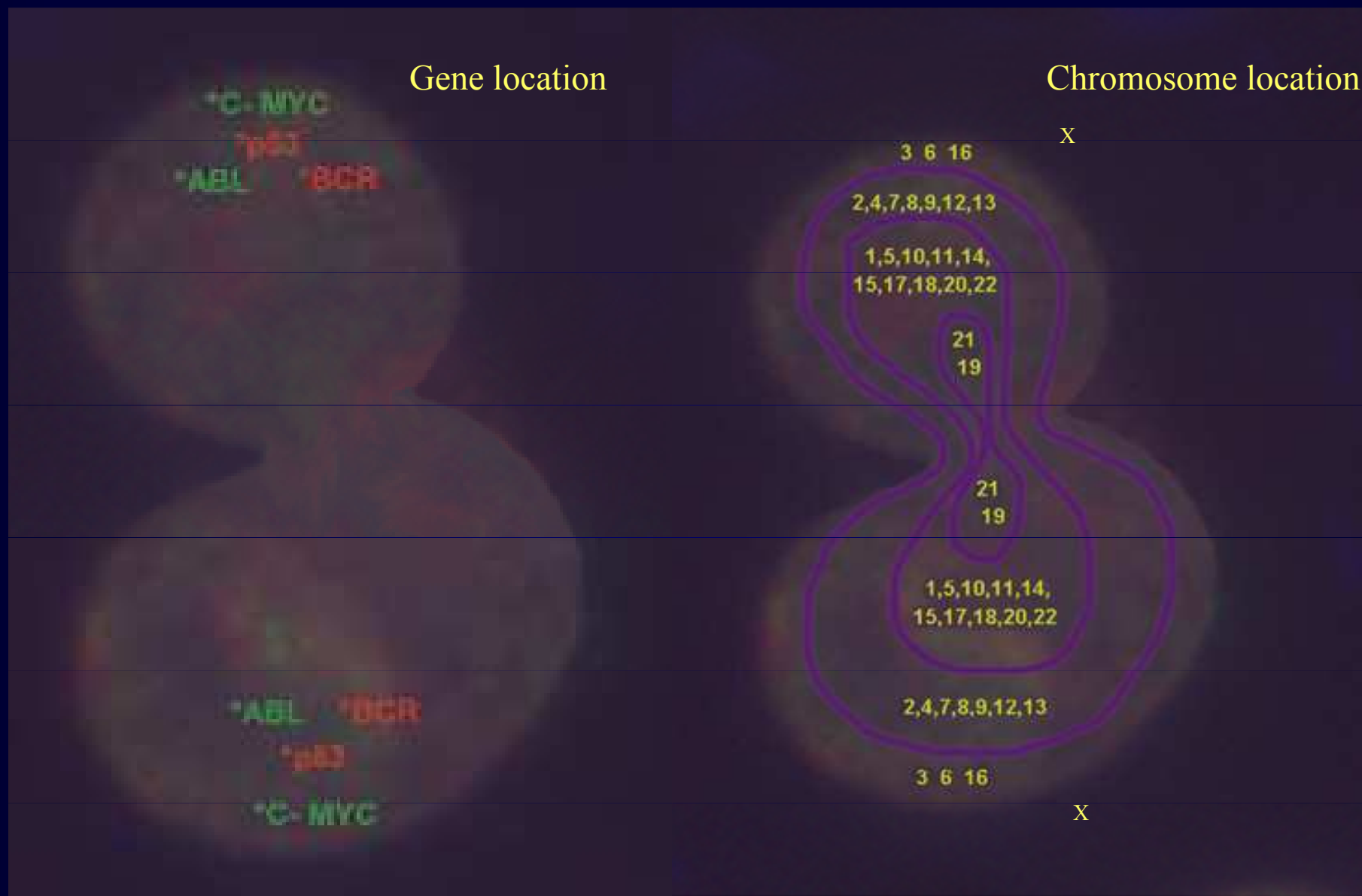
1,5,10,11,14,
15,17,18,20,22

2,4,7,8,9,12,13

3 6 16

X

*ABL *BCR
*p83
*C-MYC



Bone marrow

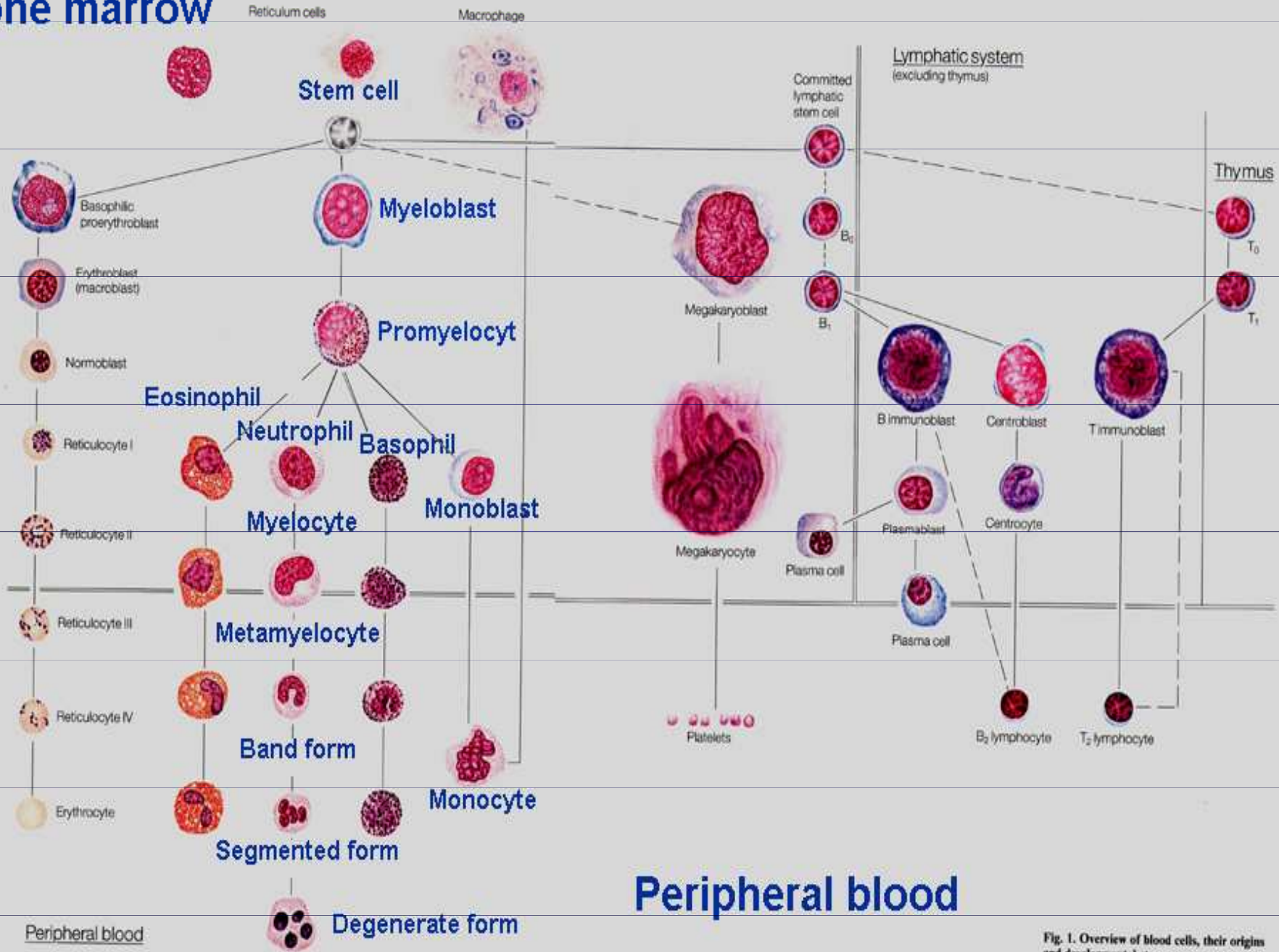
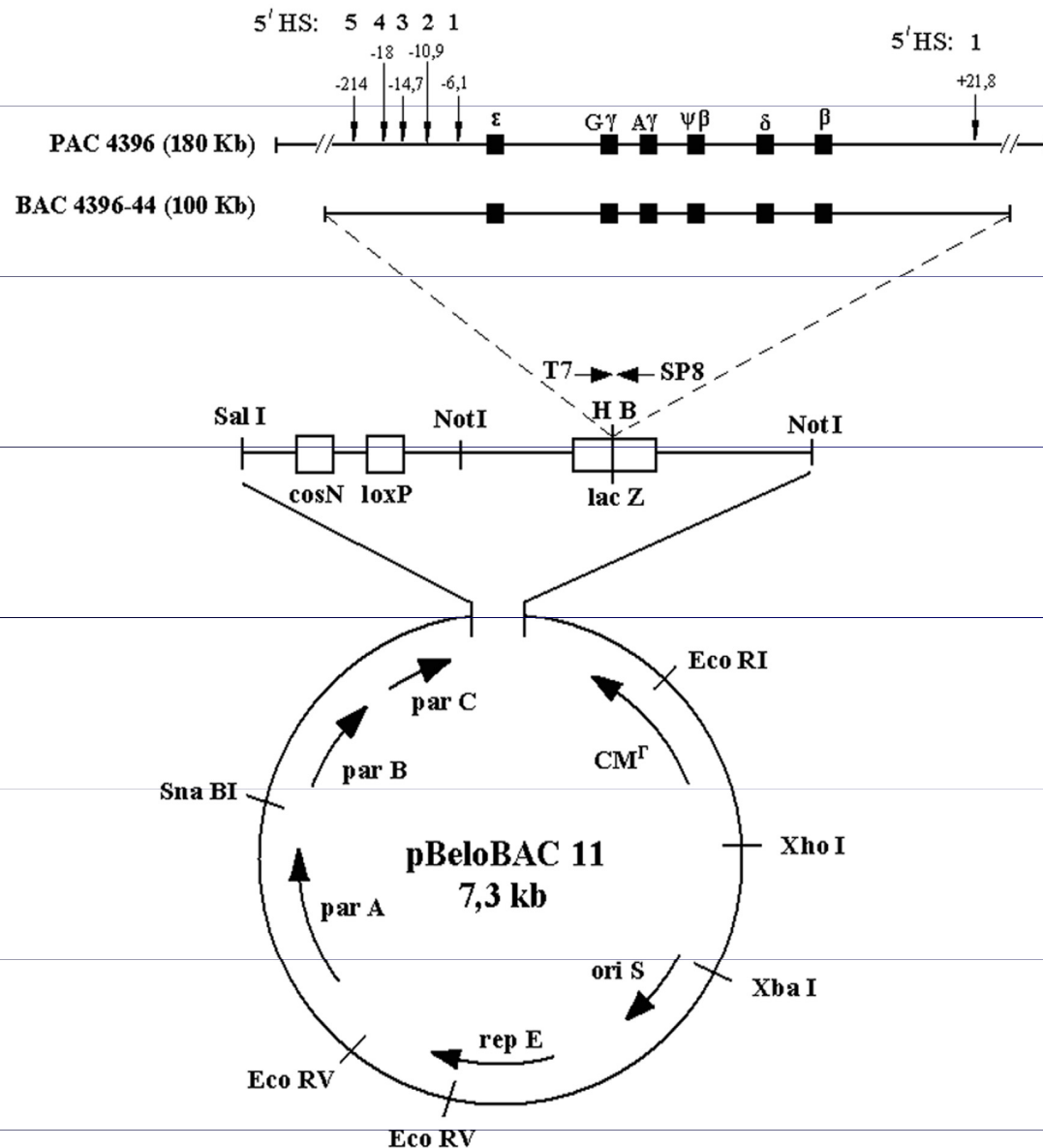


Fig. 1. Overview of blood cells, their origins and developmental stages

Beta-like globin gene cluster

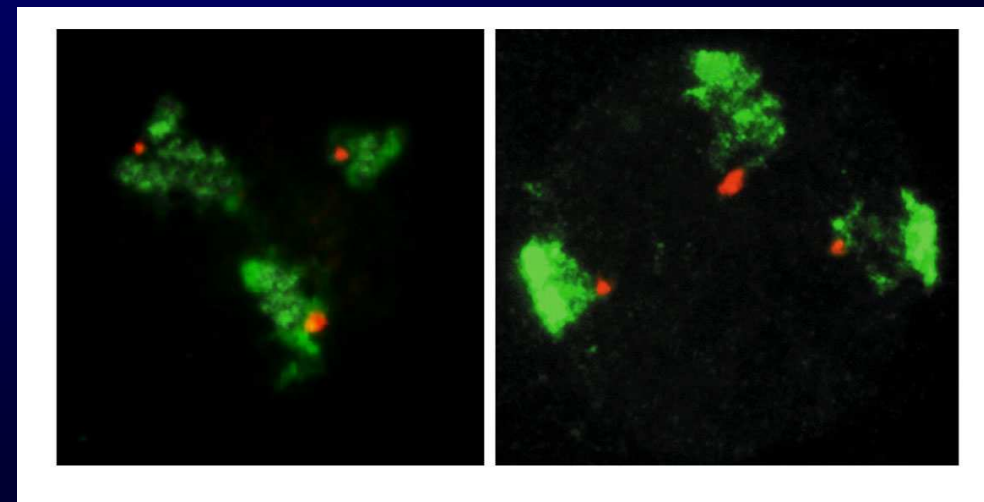
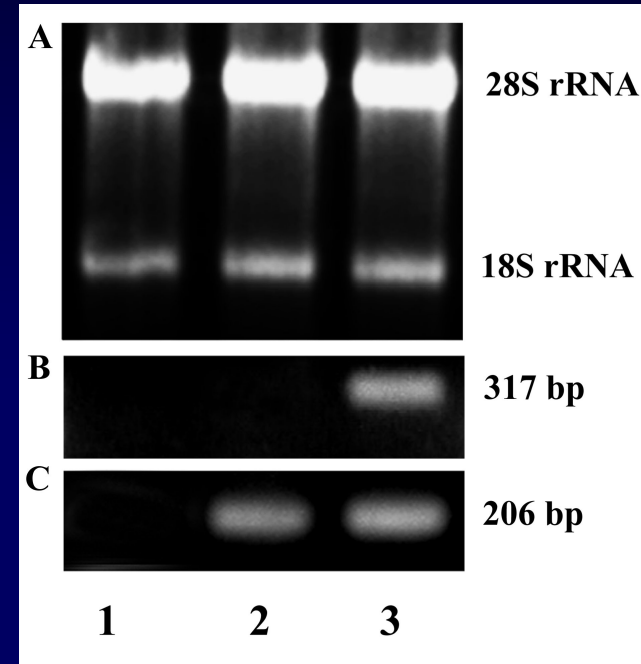
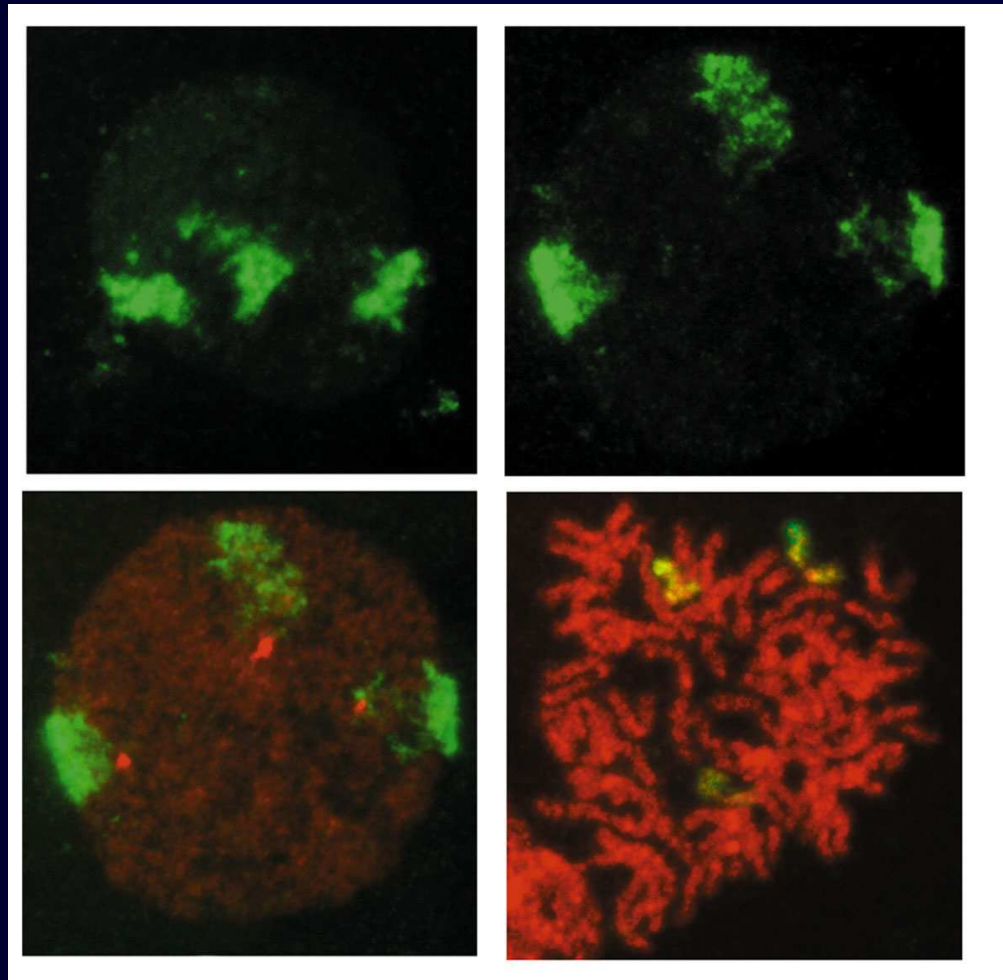


Arrayed on chromosome 11, encodes one embryonic (ϵ) and two fetal ($G\gamma$, $A\gamma$) and two adult (δ , β) globin chains. Expression of β -like genes undergoes a developmental related switching mechanism:

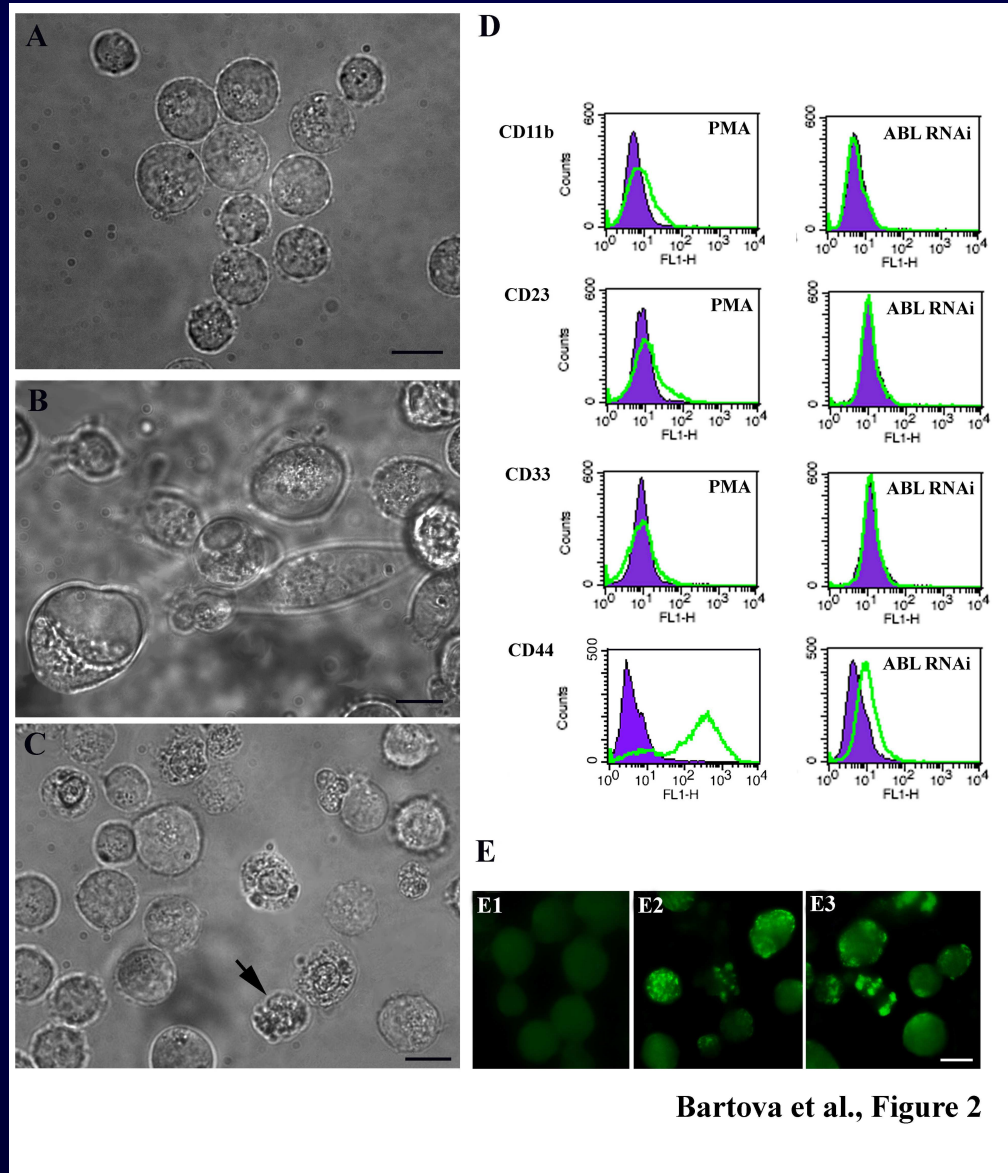
- ϵ : expressed in early embryo
- fetal γ : fetal life.
- δ , β : adulthood.

Changes in β -like gene expression accompany erythroid cell differentiation

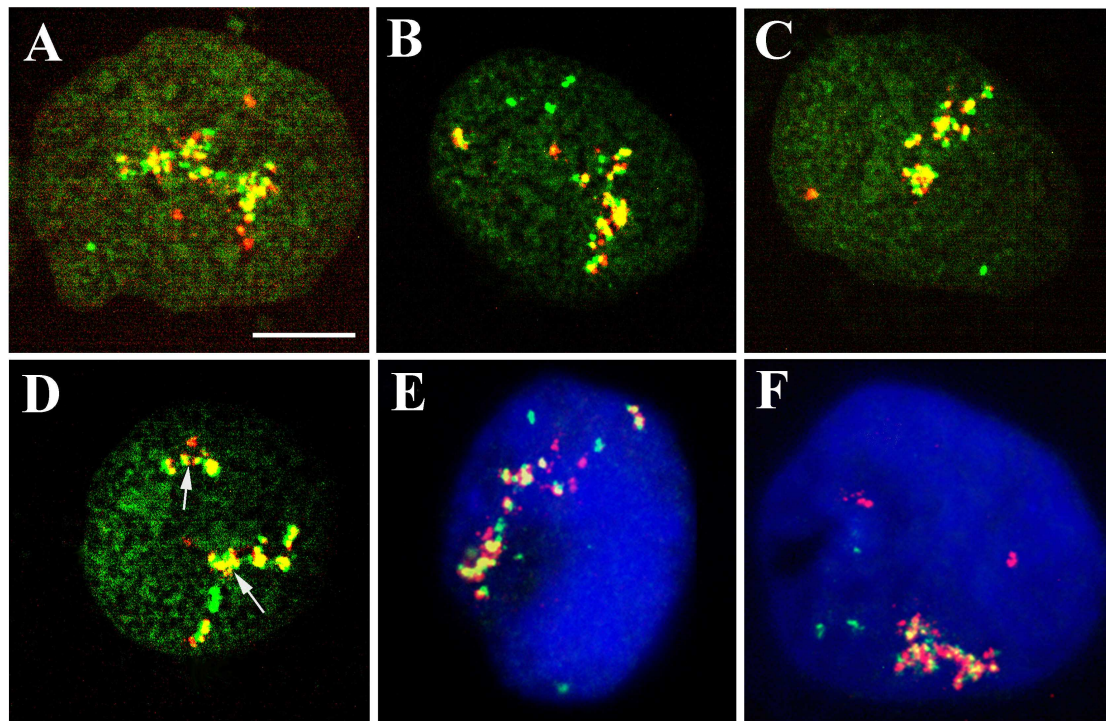
Differentiation of human hemopoietic cells into erythroid pathway



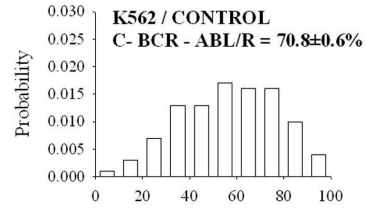
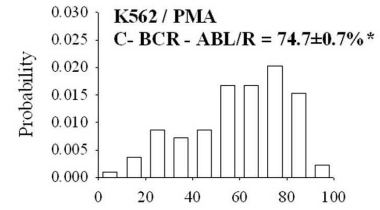
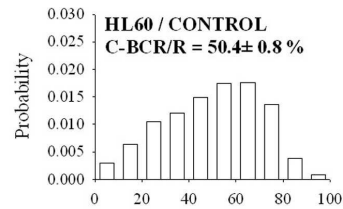
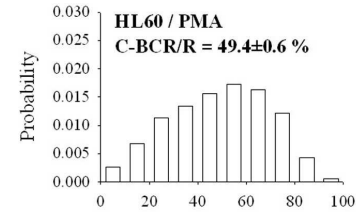
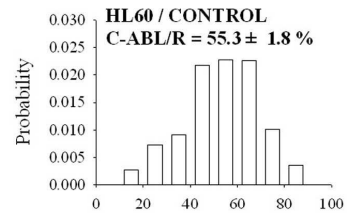
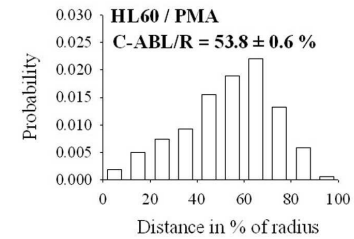
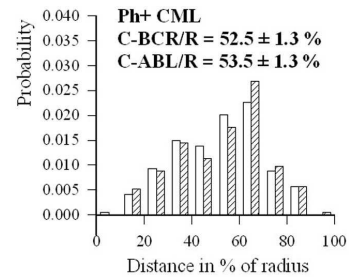
Differentiation of human hemopoietic cells into megakaryocytes



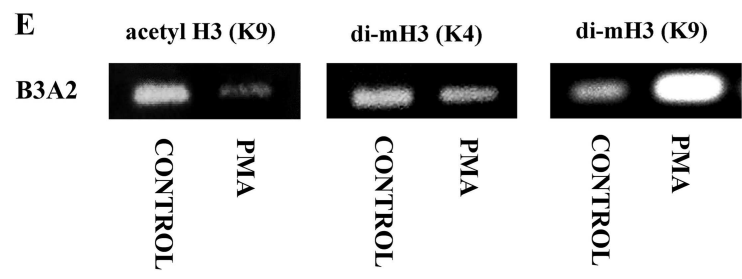
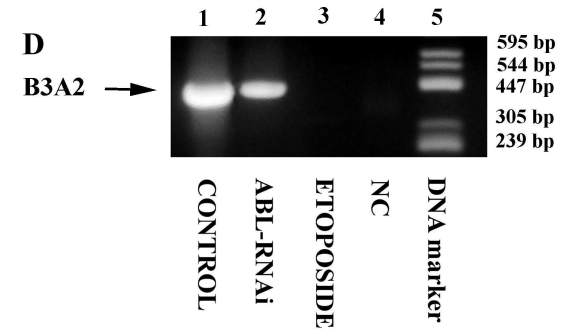
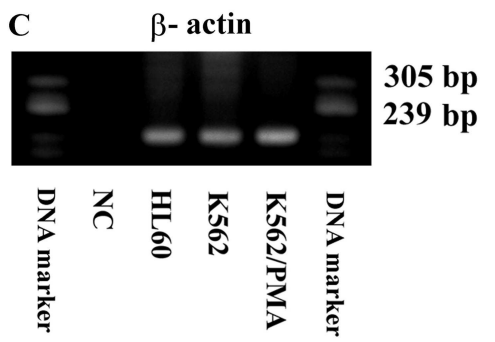
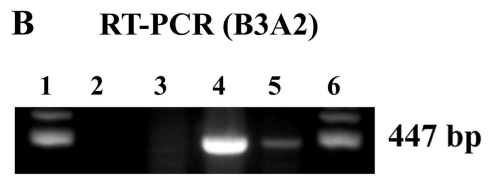
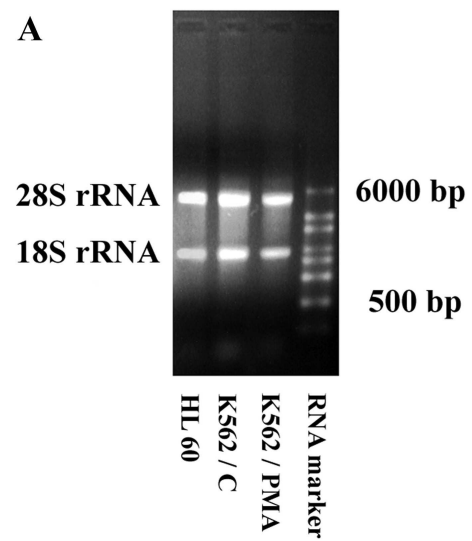
BCR (red signals) and ABL genes (green signals)



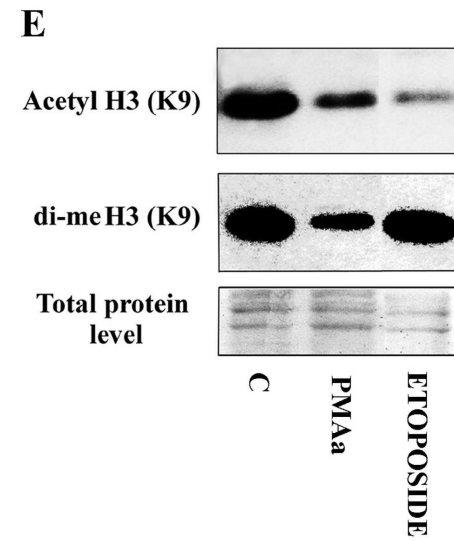
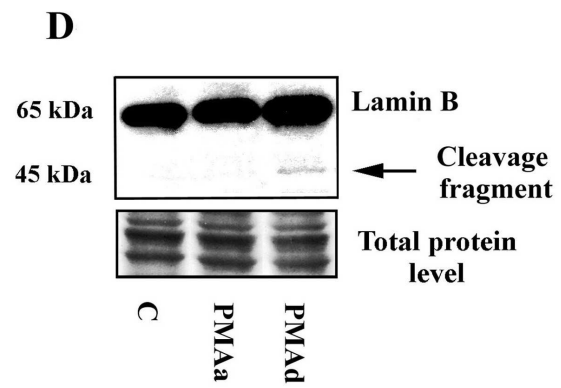
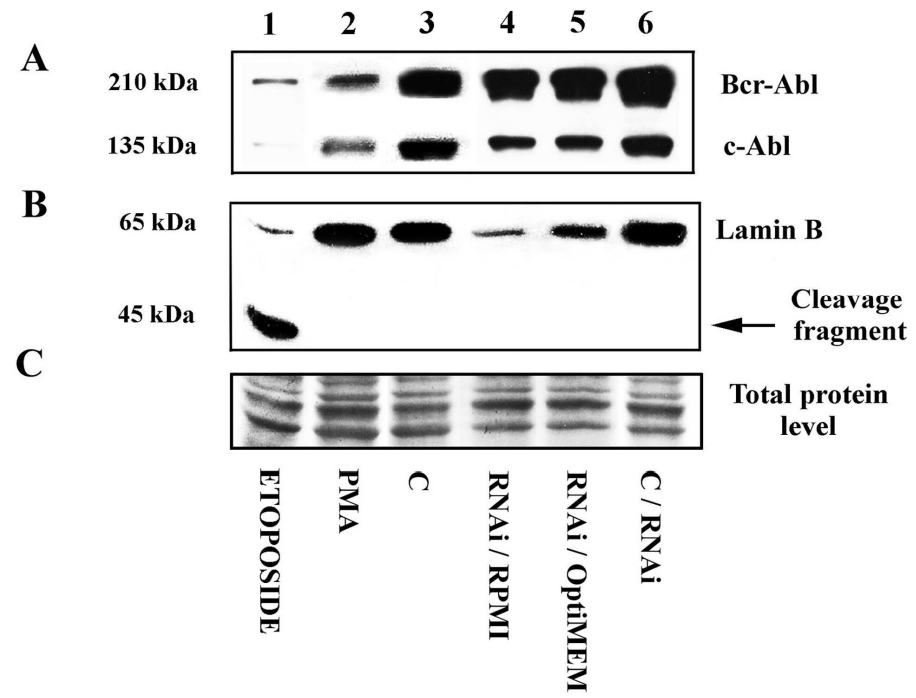
Bartova et al., Figure 3

A**B****C****D****E****F****G**

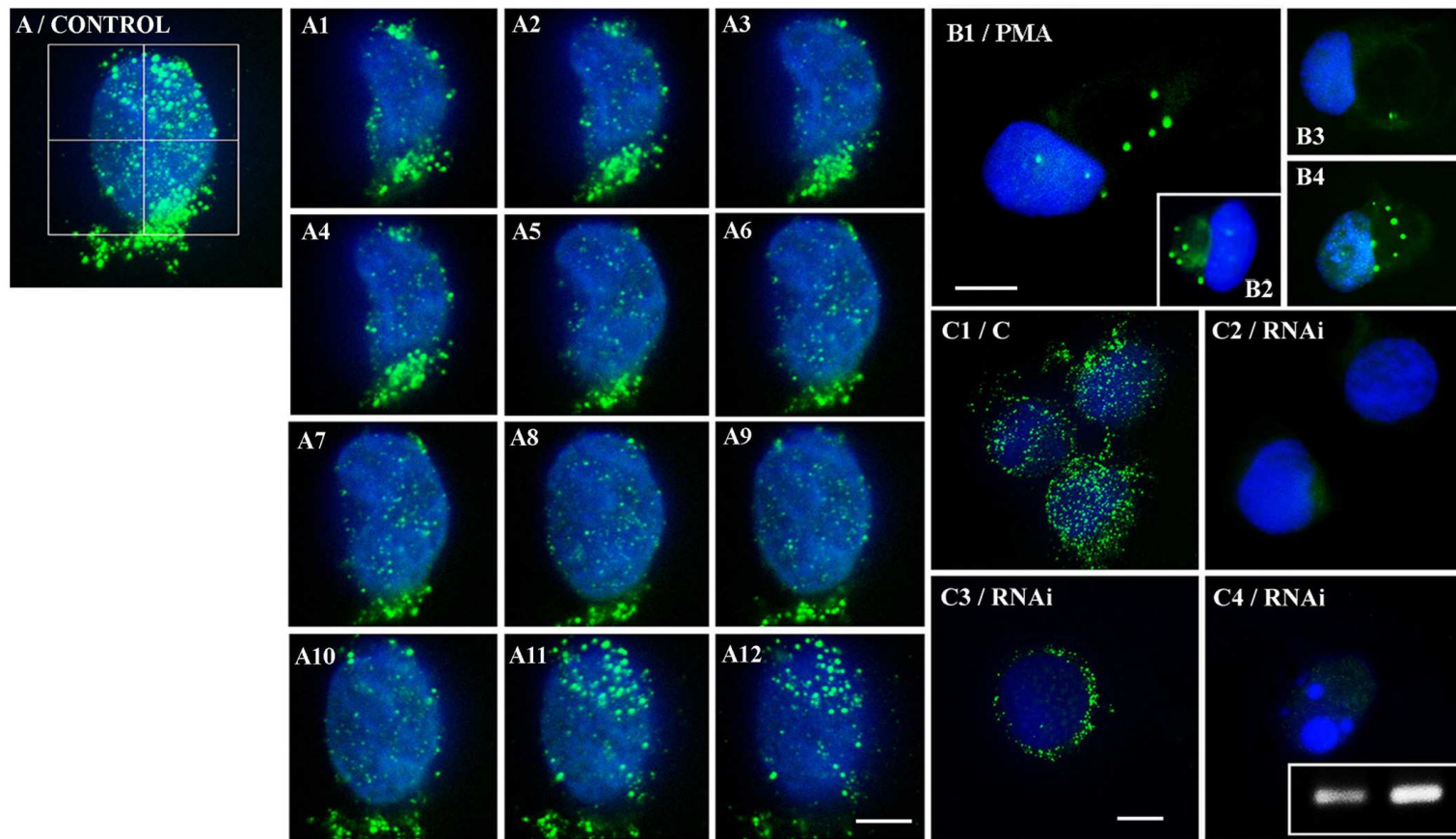
Bartova et al., Figure 4



Bartova et al., Figure 5



Bartova et al., Figure 7



Bartova et al., Figure 6

ZÁVĚR

Diferenciace je charakteristická nejenom specifickými změnami na úrovni morfologie buněk, ale významně se mění i struktura chromatinu. Tyto změny v genomu mají velký význam z hlediska aktivity genů a množství jejich proteinů. Tyto všechny uvedené buněčné faktory určují vznik daného buněčného typu.